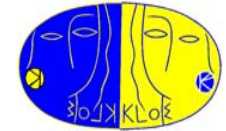




# Fisica di precisione con KLOE @ DAΦNE



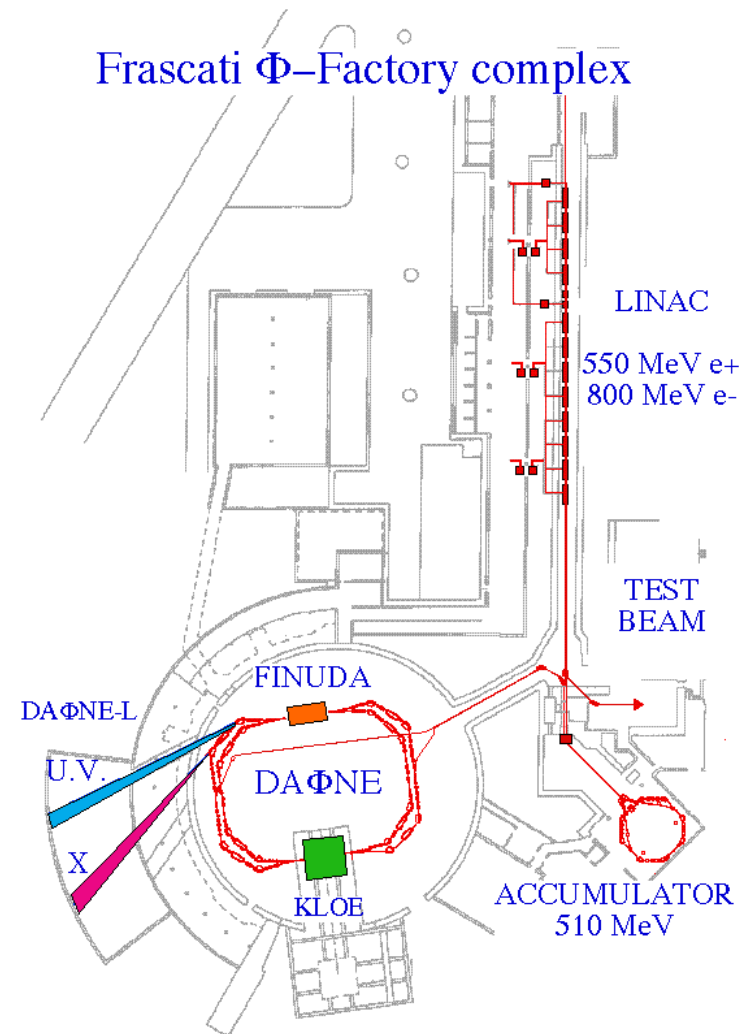
# DAΦNE “φ-factory”



- Collider  $e^+e^-$   $\sqrt{s}=M_\phi=1019,4$  MeV
- Anelli separati per  $e^+$  ed  $e^-$  per minimizzare interazioni fascio-fascio
- Due zone d'interazione
- Angolo di incrocio 12,5 mrad  $\rightarrow p_T \sim 13$  MeV/c
- $L_{\text{progetto}} = 5 \times 10^{32} \text{ cm}^{-2}\text{s}^{-1}$
- Tempo tra due collisioni 2,7 ns
- Iniezione durante presa dati

## Prestazioni nel 2004-05

- $\sim 105$  bunch  $e^+ + e^-$
- $I_{\text{picco}}^- \sim 2,4$  A     $I_{\text{picco}}^+ \sim 1,5$  A
- $L_{\text{picco}} = 1,4 \times 10^{32} \text{ cm}^{-2}\text{s}^{-1}$
- $L$  integrata mese  $\sim 200 \text{ pb}^{-1}$



# $\Phi$ -Factory come “fabbrica” di KK



$\sigma(e^+e^- \rightarrow \phi) \sim 3 \mu\text{b}$  Per  $L=10^{32} \text{ cm}^{-2}\text{s}^{-1} \rightarrow \sim 300 \Phi/\text{s}$

→ovvero

- $K^+K^-$  49%  $\sim 150/\text{s}$
- $K_S K_L$  34%  $\sim 100/\text{s}$

“Fabbrica” di K

Infatti puro stato  $J^{PC}=1^{--}$  quindi

$$|K\bar{K}, t=0\rangle = \frac{1}{\sqrt{2}} \left( |K^0 \bar{K}^0\rangle - |\bar{K}^0 K^0\rangle \right) \equiv \frac{1}{\sqrt{2}} \left( |K_S K_L\rangle - |K_L K_S\rangle \right)$$

$$K_L (K^+) \longleftarrow \phi \longrightarrow K_S (K^-)$$

L’osservazione di un  $K_L$  ( $K_S$ ) segnala la presenza di un  $K_S$  ( $K_L$ )

Analogamente un  $K^+$  ( $K^-$ ) segnala un  $K^-$  ( $K^+$ )

“TAGGING”

Il decadimento della  $\phi$  fornisce dei fasci puri di  $K_S$  e  $K_L$  ( $K^+$  e  $K^-$ )

Perché una  $\Phi$ -Factory



# Fisica dei K



Perché una  $\Phi$ -Factory

- Misura di vite medie e frazioni di decadimento (BR) assolute o misura di precisione di rapporti di tali BR
  - Studi di simmetrie fondamentali quali CP e CPT
  - Verifica conservazione numero leptonico
  - Universalità dell'accoppiamento debole
  - $V_{us}$
- Studio dell'evoluzione temporale del sistema coerente  $K_S K_L$ 
  - Ancora CP e CPT
  - Test di proprietà fondamentali della meccanica quantistica



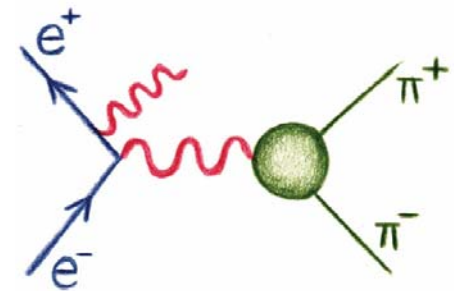
# Decadimenti radiativi



Perché una  $\Phi$ -Factory

- $\eta\gamma$  1,3%  $1^- \rightarrow 0^-$  transizione di dipolo magnetico
  - $\eta'\gamma$   $6,5 \times 10^{-5}$
  - $f_0\gamma$   $1,1 \times 10^{-4}$   $1^- \rightarrow 0^+$  transizione di dipolo elettrico
  - $a_0\gamma$   $6,2 \times 10^{-5}$
- Sonde uniche per studiare proprietà e struttura dei mesoni pseudoscalari e scalari  $\rightarrow$  i tassi di decadimento dipendono fortemente dalla funzione d'onda del mesone finale e dal suo contenuto in sapore

- Inoltre  $e^+e^- \rightarrow \pi^+\pi^-\gamma$   $\sqrt{s}_\pi = (s - 2E_\gamma \sqrt{s})^{1/2}$ 
  - $\sigma(e^+e^- \rightarrow \pi^+\pi^-)$  tra soglia e  $\sim 1\text{GeV}$   
da essa dipende buona parte del contributo adronico ad  $a_\mu$



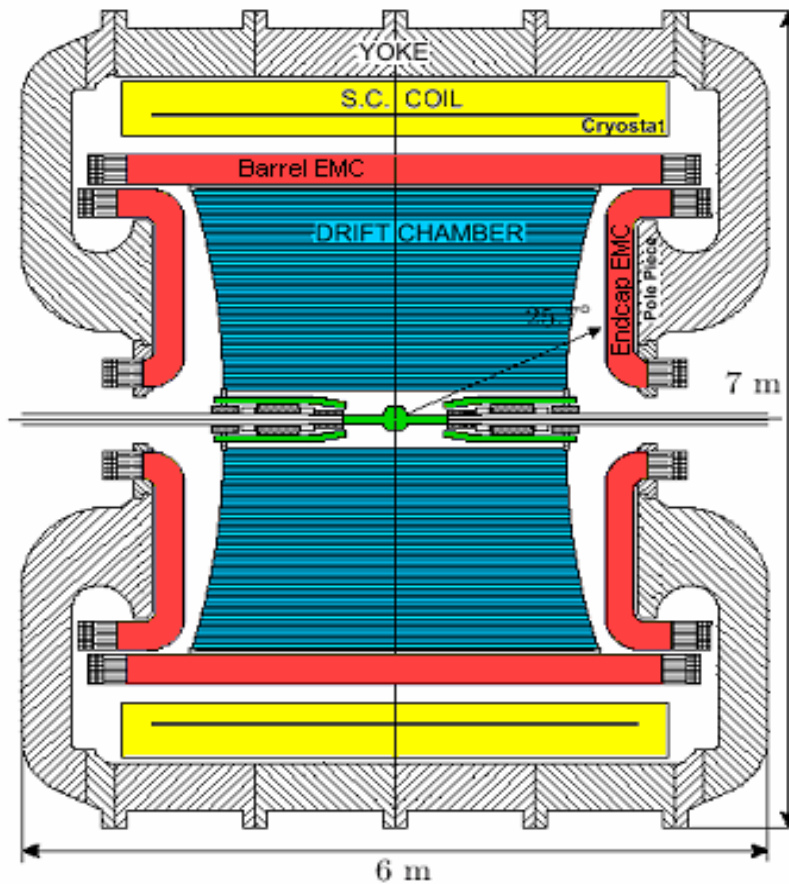
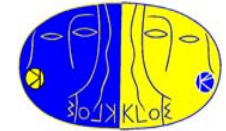
# Sommario



- KLOE
- Fisica dei K
  - Vus e universalità
  - Test di simmetrie
  - Decadimenti rari



# KLOE (K Long Experiment)



$K_L K_S$

$\beta^* = 0.216$

$p^* = 110 \text{ MeV}/c$

$\lambda_S = 6 \text{ mm}; \lambda_L = 3.4 \text{ m}$

$K^+ K^-$

$\beta^* = 0.245$

$p^* = 127 \text{ MeV}/c$

$\lambda_{\pm} = 95 \text{ cm}$

Grande volume di decadimento ( $\lambda_L = 3,5 \text{ m}$ )

Massima trasparenza

“Ermetico”

“Unbiased” trigger

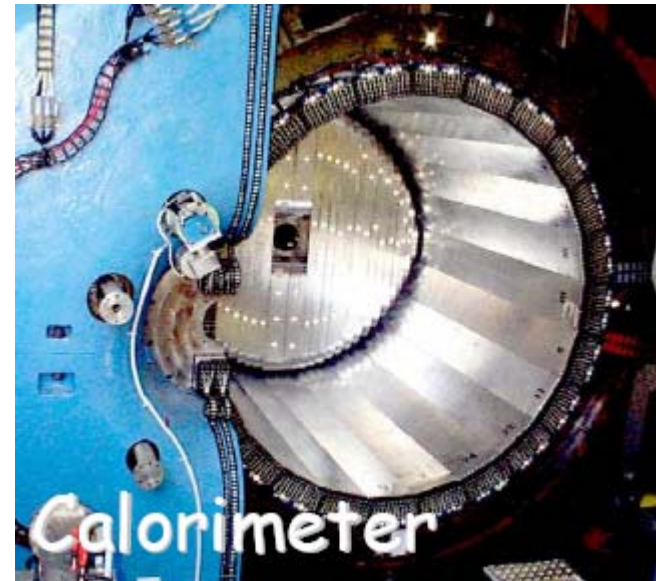
- Pipe sferica in Be-Al  $\phi=10 \text{ cm}$ , spessore  $0,5 \text{ mm}$  → *Minimizza rigenerazione, conversione  $\gamma$ , scattering*
- Quads low-beta instrumentati → Ermeticità per rivelazione  $\gamma$
- Camera a drift “stereo”,  $\phi=4 \text{ m}$ ,  $L=3,4 \text{ m}$ , pareti fibra di carbonio, gas a bassa densità (90%He+10% $i\text{-C}_4\text{H}_{10}$ ), 12.582 celle “quadrate” (fili: sense W  $\phi=25 \mu\text{m}$ , campo Al  $\phi=50 \mu\text{m}$ )
- Calorimetro  $0,5 \text{ mm Pb}$ , fibre scintillanti  $\phi=1 \text{ mm}$ ,  $15 X_0$ , 2440 celle doppia lettura
- Magnete superconduttore  $B=0,52 \text{ T}$



# I rivelatori di KLOE



- $\sigma/p=0,4\%$  (tracce  $\theta>45^\circ$ )
- $\sigma_{r\phi}\sim 150\ \mu\text{m}$ ,  $\sigma_z=2\text{mm}$
- $\sigma_{\text{vertice}}\sim 2\text{-}3\ \text{mm}$
- $\sigma(m_{\pi\pi})\sim 1\ \text{MeV}$

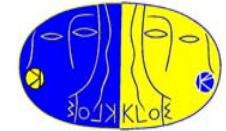


- $\varepsilon > 95\%$  per  $E_\gamma > 20\ \text{MeV}$
- $\sigma_E/E=0,057/\sqrt{E}$  (GeV)
- $\sigma_t = 54\ \text{ps}/\sqrt{E}$  (GeV)  $\oplus$  50ps
- $\sigma_{\text{sciame}}=1,3\ \text{cm}/\sqrt{E}$  (GeV)
- $\sigma_{\text{vertice}}(\gamma\gamma)=1,3\ \text{cm}$  ( $K_L \rightarrow \pi^+\pi^-\pi^0$ )





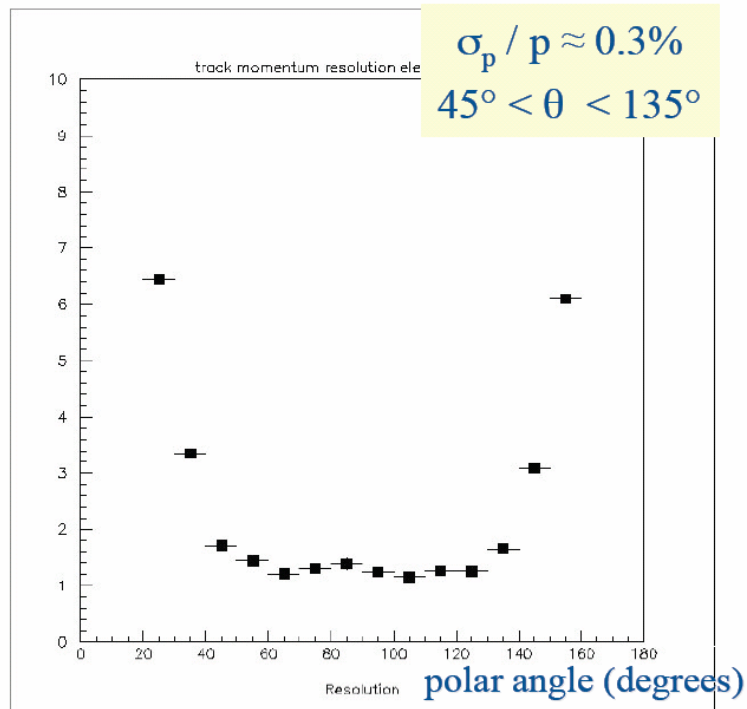
# Ricostruzione di tracce



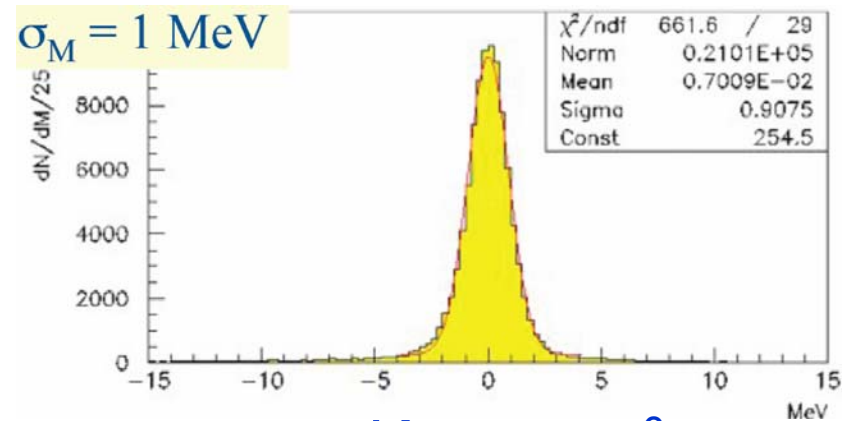
- Risoluzione spaziale

- $\sigma_{\rho\phi} \cong 150 \mu\text{m}$
- $\sigma_z \cong 2 \text{ mm}$

Bhabha scattering events

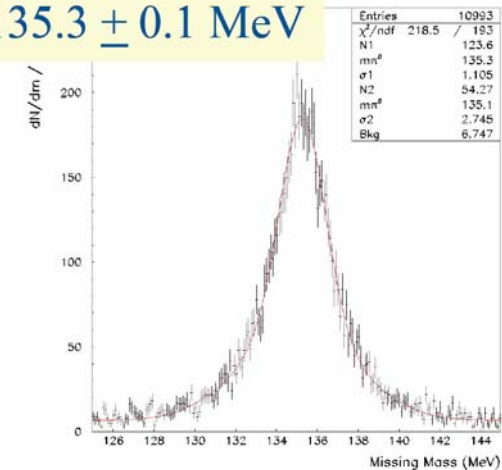


$K_S \rightarrow \pi^+ \pi^-$



$K_L \rightarrow \pi^+ \pi^- \pi^0$

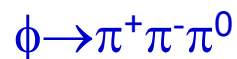
$M(\pi^0) = 135.3 \pm 0.1 \text{ MeV}$



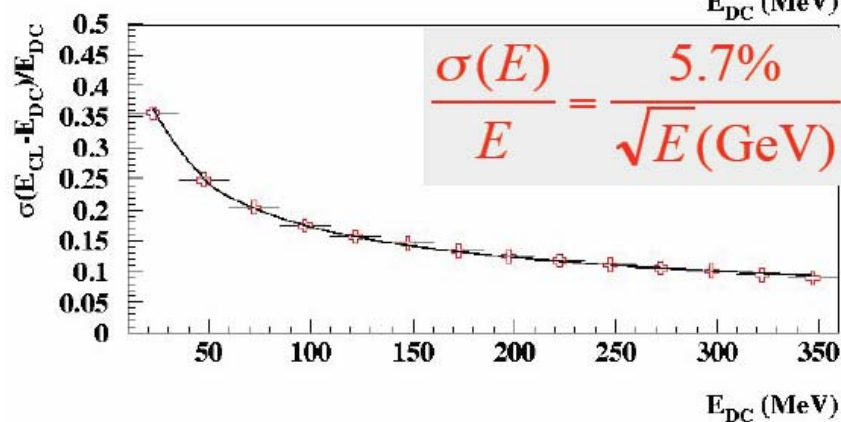
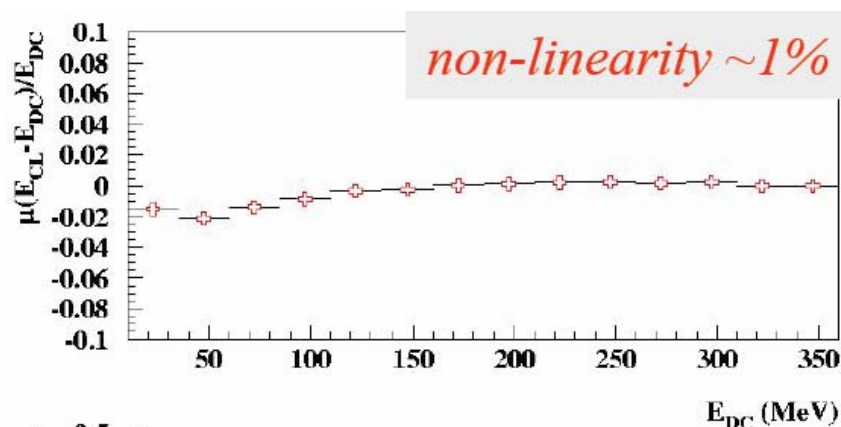
# Misura dei fotoni



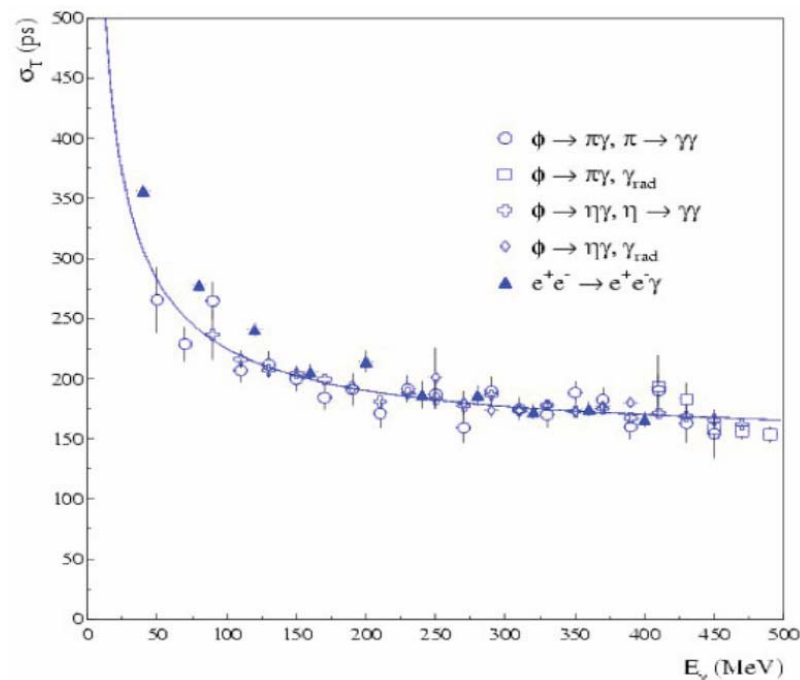
## Risoluzione in energia



$E_\gamma$  dalla ricostruzione di  $\pi^+ \pi^-$



## Risoluzione in tempo

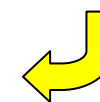


$$\sigma_t = 54 \text{ ps} / \sqrt{E(\text{GeV})} \oplus 120 \text{ ps} \oplus 40 \text{ ps}$$

dalla struttura a bunch



da errori di calibrazione



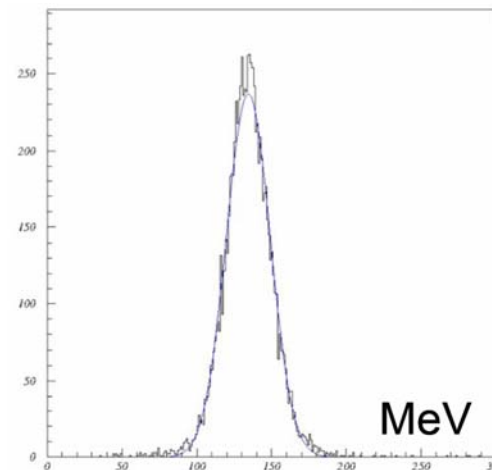
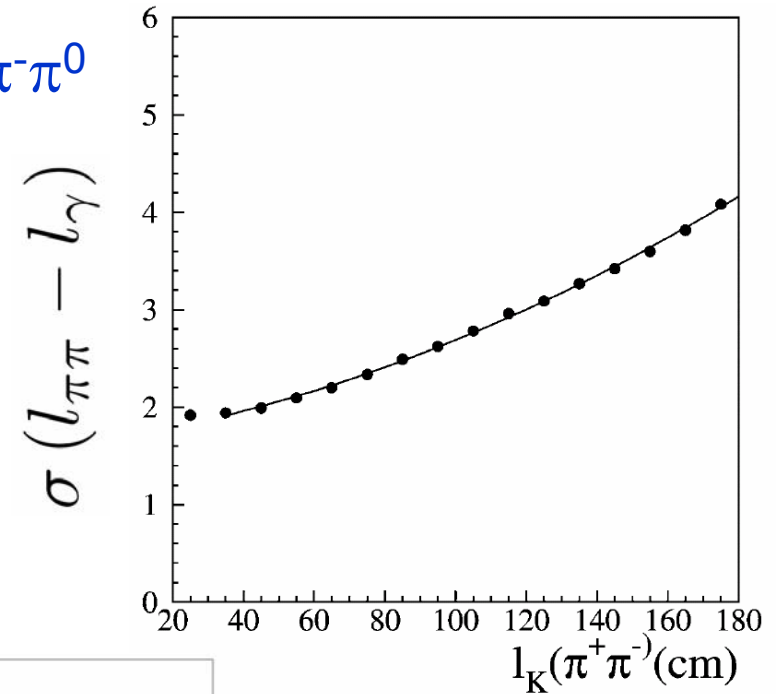
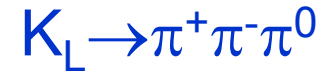
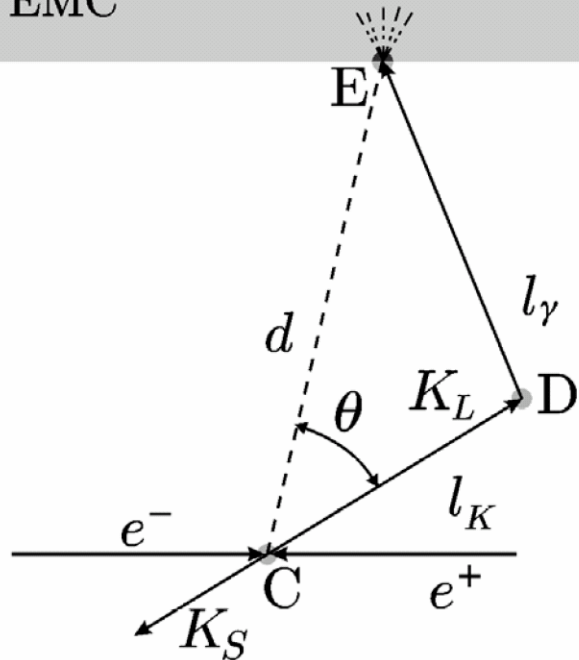
# Misura dei fotoni/2



$$l_\gamma^2 = d^2 + l_K^2 - 2dl_K \cos \theta$$

$$ct_\gamma = l_K / \beta_K + l_\gamma$$

EMC

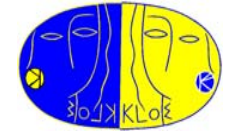


$M=134,5 \text{ MeV}$

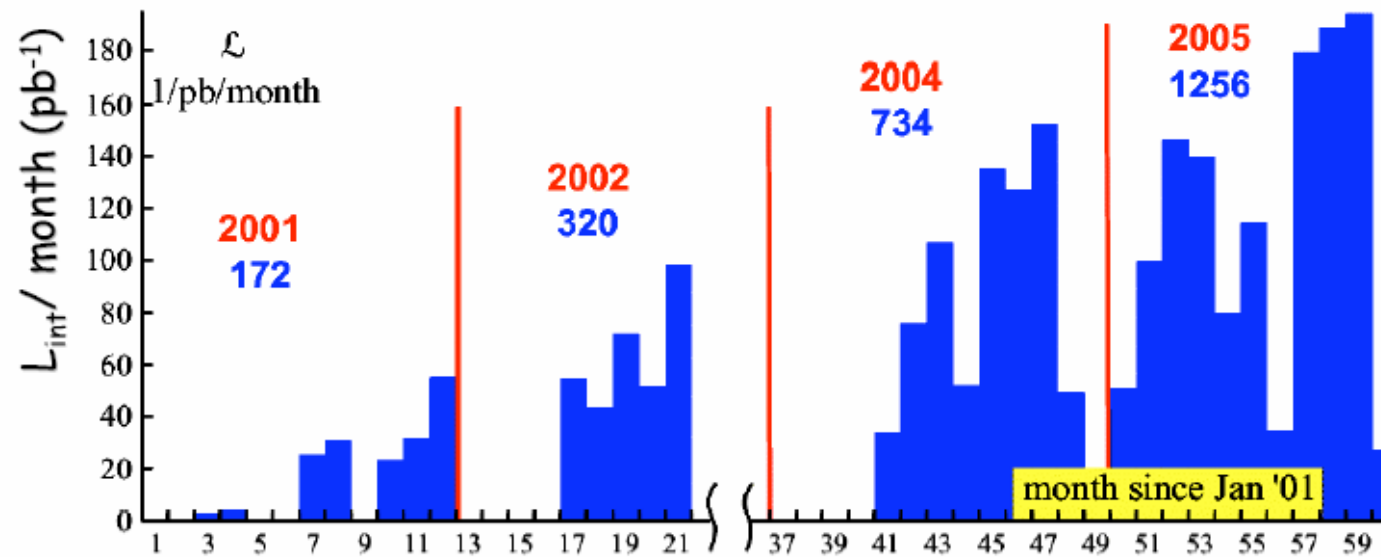
$\sigma_M \approx 14 \text{ MeV}$



# I dati di KLOE



- Presa dati nel periodo 2001-05
  - ~2,5 fb<sup>-1</sup> √s=M(Φ)
  - ~2,5x10<sup>9</sup> K<sub>S</sub>K<sub>L</sub> e 3,6x10<sup>9</sup>K<sup>+</sup>K<sup>-</sup>



- Presa dati 2006
  - 4 punti “energy scan” intorno al picco della Φ 225 pb<sup>-1</sup>





---

# *Fisica dei K*

## *Vus e universalità*



# Interesse per la misura di $V_{us}$ con i K/1

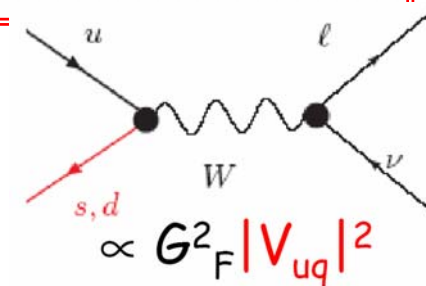


## MS – Accoppiamento W con corrente debole carica:

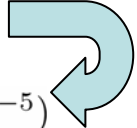
$$\frac{g}{\sqrt{2}} W_\mu^+ (\bar{\mathbf{U}}_L \mathbf{V}_{CKM} \gamma^\mu \mathbf{D}_L + \bar{e}_L \gamma^\mu \nu_{eL} + \bar{\mu}_L \gamma^\mu \nu_{\mu L} + \bar{\tau}_L \gamma^\mu \nu_{\tau L}) + h.c.$$

A bassa energia

$$G_F = \frac{g^2}{4\sqrt{2}M_W^2}$$



Allora:

- $\frac{\Gamma(K \rightarrow \pi e \nu)}{\Gamma(K \rightarrow \pi \mu \nu)} \implies \text{universalità } e - \mu$
- $\Gamma(K \rightarrow \pi e \nu)$  e  $\Gamma(K \rightarrow \pi \mu \nu) \implies g^4 |V_{us}|^2$
- $\Gamma(K \rightarrow \pi e \nu)$  e  $\Gamma(K \rightarrow \pi \mu \nu)$  più dec.  $\beta \implies$  unitarietà   
 $|V_{ud}|^2 + |V_{us}|^2 + |V_{ub}|^2 \simeq |V_{ud}|^2 + |V_{us}|^2 = 1 \quad (|V_{ub}|^2 \sim 1,5 \times 10^{-5})$
- $\frac{\Gamma(K \rightarrow \mu \nu)}{\Gamma(\pi \rightarrow \mu \nu)} \implies$  misura indipendente di  $\frac{|V_{us}|^2}{|V_{ud}|^2}$



# Decadimenti semileptonici e $V_{us}$



Decadimento del  $\mu - V e A \quad \Gamma(\mu \rightarrow e \nu \bar{\nu}) = \frac{G_F^2 m_\mu^5}{192\pi^3} (1 + \mathcal{O}(m_e^2/m_\mu^2) + \mathcal{O}(\alpha/\pi)) \quad \longrightarrow \quad G_F$

Decadimento del K:  $0^- \rightarrow 0^-$ , Fermi super-permesso solo V, Cabibbo "soppresso"

$$\Gamma(K_{l3}(\gamma)) = \frac{G_F^2 M_K^5}{192\pi^3} C_K^2 |V_{us}|^2 |f_+(0)|^2 I_K^l S_{EW} \left(1 + \delta_K^{SU(2)} + \delta_K^{em}\right)$$

BR( $K \rightarrow \pi l \nu$ )/ $\tau_K$

f(t): fattore di forma  $K \rightarrow \pi$   
 $t = (p_K - p_\pi)^2$

fattore di isospin  
 $C_K = 1$  ( $1/\sqrt{2}$ ) per  $K^0$  ( $K^\pm$ )

$I_K(\lambda'_+, \lambda''_+, \lambda_0)$   
 integrale spazio fasi

correzione  
 rottura isospin

Correzione ew breve distanza  
 $\approx 1 + (2\alpha/\pi) \ln(M_Z/M_K)$

correzione em  
 lunga distanza

## Da misurare

- Rapporti di decadimento
- Vite medie dei K
- Masse dei K
- Dipendenza da t dei FF

## Da calcolare

- Fattore di forma a t=0
- Correzioni
  - $S_{EW}, \delta^{SU(2)}, \delta^{em}$

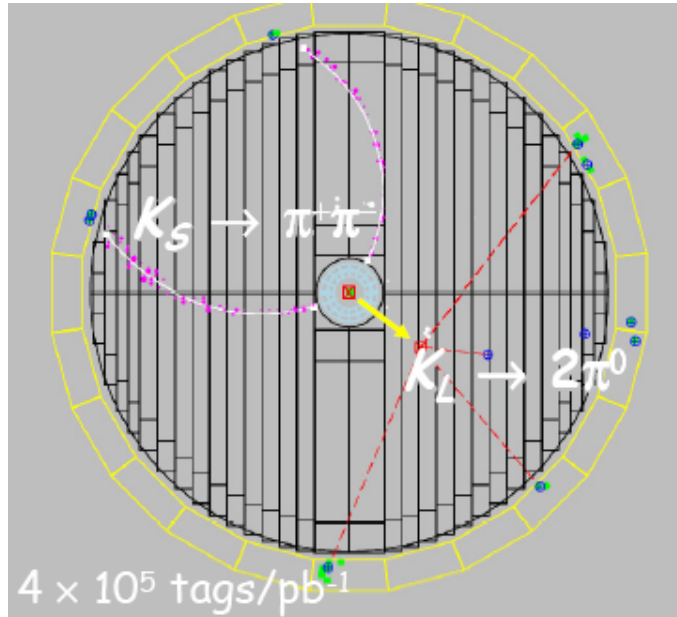


# “Tagging” di $K_L$ e $K_S$



## $K_L$ segnalato da $K_S \rightarrow \pi^+ \pi^-$

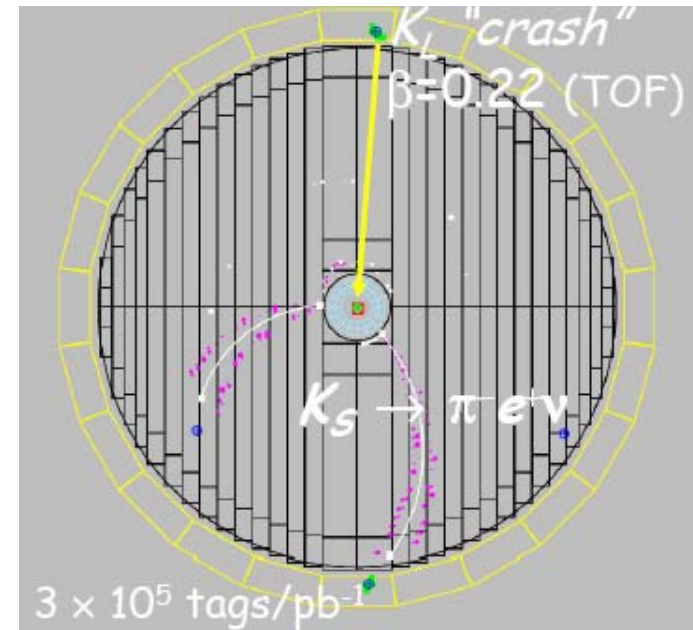
- $K_S$ -tag**
- Due tracce con curvatura opposta
  - Vertice “vicino” al punto d’incrocio
  - $p_1 + p_2 \sim 110 \text{ MeV}/c$
  - $M_{12} \sim M_K$  assegnando  $m_\pi$  alle tracce



- $\varepsilon \sim 70\%$  geometria & vertice
- $K_L$  risoluzione angolare  $\sim 1^\circ$
- $K_L$  risoluzione momento  $\sim 1 \text{ MeV}/c$

## $K_S$ segnalato da $K_L$ in calorimetro

- $K_L$ -tag**
- Cluster di energia  $E > 200 \text{ MeV}$
  - $0,17 \leq \beta^* \leq 0,28$   
( $\beta^* = r_{cl}/t_{cl}$  nel CM della  $\Phi$ )

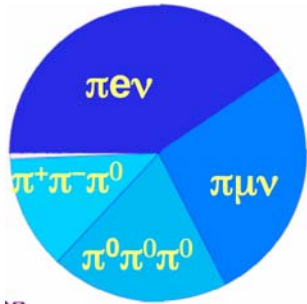
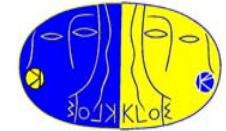


- $\varepsilon \sim 30\%$  geometria & taglio energia
- $K_S$  risoluzione angolare  $\sim 1^\circ$
- $K_S$  risoluzione momento  $\sim 1 \text{ MeV}/c$



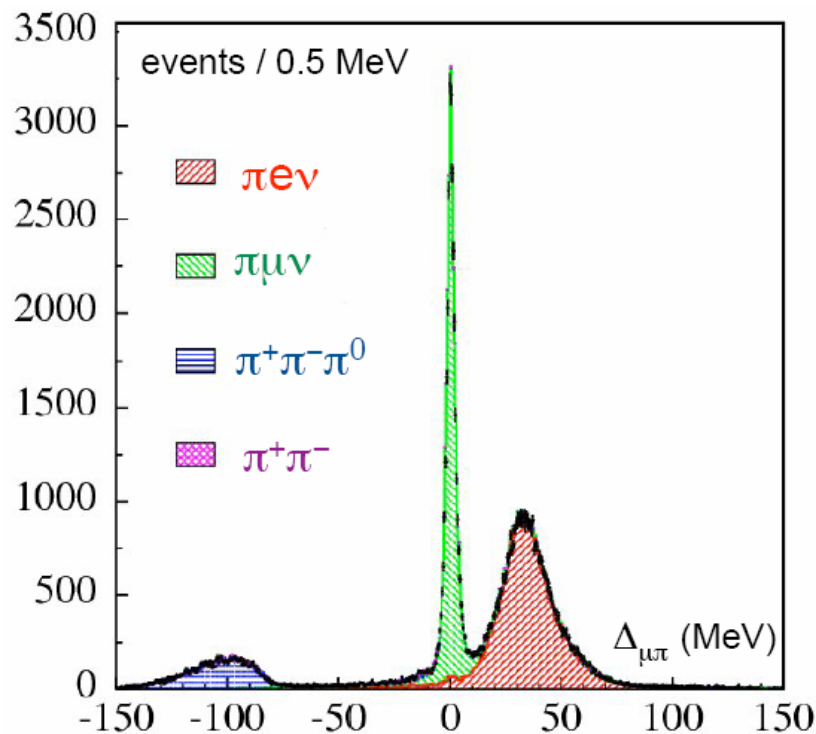


# Decadimenti principali del $K_L/1$



$K_L$ -tag  $328 \text{ pb}^{-1}$   $13 \times 10^6 K_L$

$\frac{3}{4}$  per la misura  
 $\frac{1}{4}$  per valutare efficienze



$\pi^+ \pi^- \pi^0$ ,  $\pi \mu \nu$ ,  $\pi e \nu$

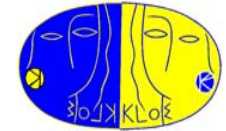
- Due tracce con vertice nel VF
- PID
  - Posizione del centroide del cluster
  - Rapporto  $E_{cl}/p_{traccia}$
- $\Delta_{\mu\pi} = \min(p_{miss} - E_{miss})$  ip.  $\pi - \mu$  e  $\mu - \pi$ 
  - Fit di  $\Delta_{\mu\pi}$  con distr. MC (incluso radiativi)

$\pi^0 \pi^0 \pi^0$

- Almeno 3  $\gamma$  con vertice in FV
- Tagli addizionali per  $n_\gamma > 3$
- Vertice da TOF fotoni



# Decadimenti principali del $K_L/2$



$$BR(K_L \rightarrow f) = \frac{N_f}{N_{tag}} \underbrace{\epsilon_{rec}^f}_{\text{Efficienza di ricostruzione}} \cdot \underbrace{\epsilon_{FV}(\tau_L)}_{\text{Integrale sul VF}} \cdot \underbrace{\epsilon_{tag}^f / \epsilon_{tag}^{all}}_{\text{"Tag bias"}}$$

## Efficienza di ricostruzione

- $K_L \rightarrow \pi e \nu, \pi \mu \nu$       ~55%
- $K_L \rightarrow \pi^+ \pi^- \pi^0$       ~40%
- $K_L \rightarrow \pi^0 \pi^0 \pi^0$       ~99%

Integrale sul VF ~26%

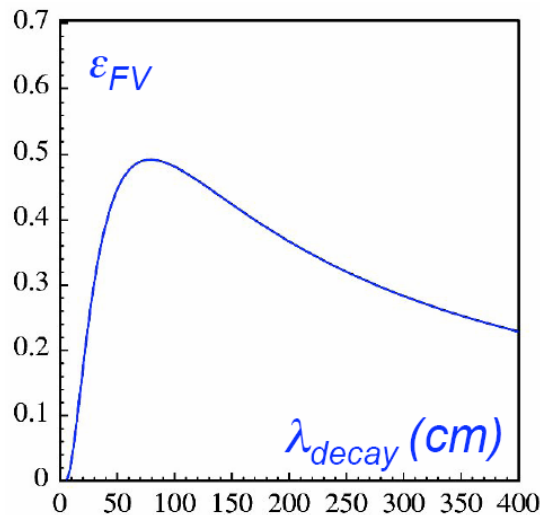
Calcola inizialmente i BR usando  $\tau_L$  del PDG

$\epsilon_{FV}$  dipende da  $\tau_L$  – Allora:

- Somma tutti i BR

$$BR(\pi\pi\pi + \pi\mu\nu + \pi e\nu)_{KLOE} + BR(\pi\pi)_{PDG04} = 1,0104 \pm 0,0076$$

- Imponi  $\Sigma BR = 1$
- Rivaluta  $\tau_L$  imponendo  $\Sigma BR = 1$
- Rinormalizza BR



# Decadimenti principali del $K_L/3$



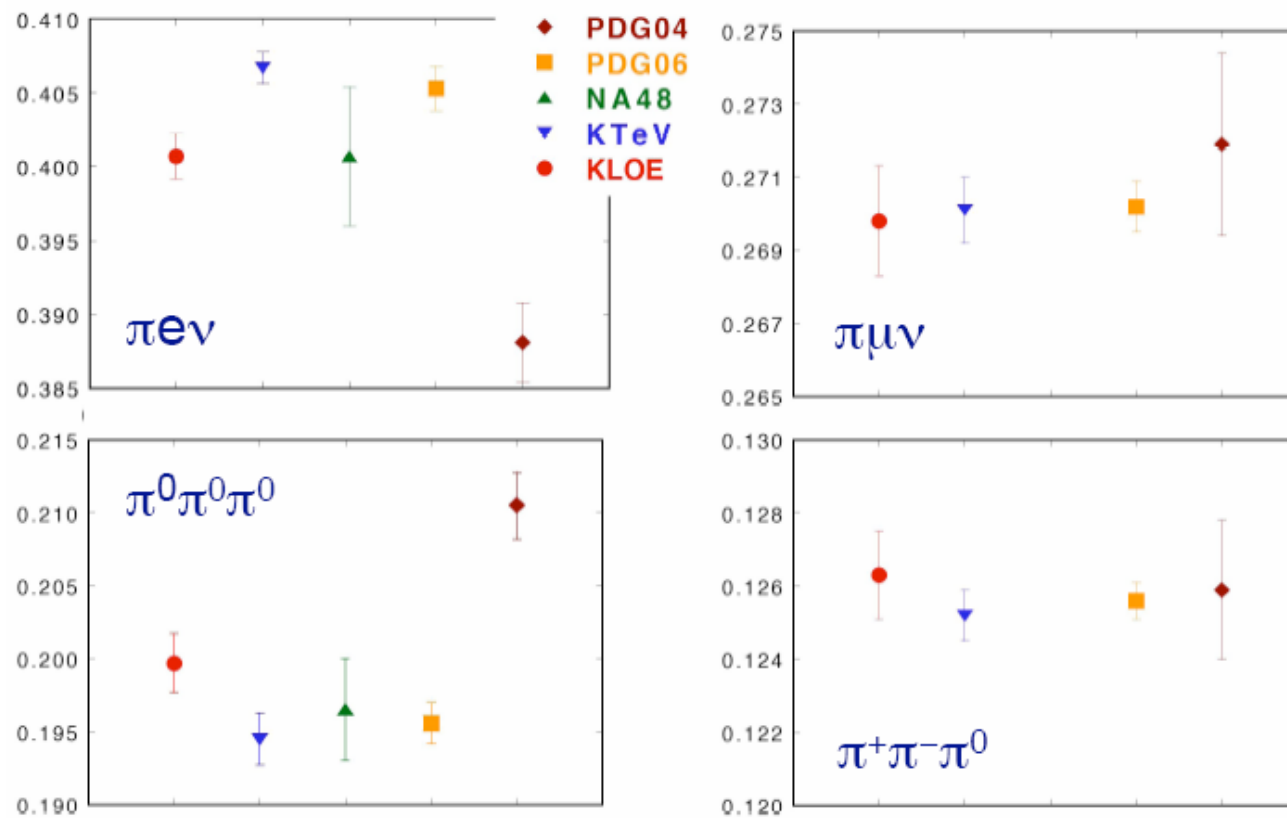
$$\text{BR}(K_L \rightarrow \pi e \nu(\gamma)) = 0,4007 \pm 0,0006 \pm 0,0014$$

$$\text{BR}(K_L \rightarrow \pi \mu \nu(\gamma)) = 0,2698 \pm 0,0006 \pm 0,0014$$

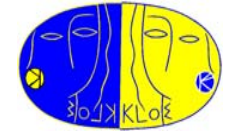
$$\text{BR}(K_L \rightarrow \pi^0 \pi^0 \pi^0) = 0,1997 \pm 0,0005 \pm 0,0019$$

$$\text{BR}(K_L \rightarrow \pi^+ \pi^- \pi^0(\gamma)) = 0,1263 \pm 0,0005 \pm 0,0011$$

$$\tau_L = 50,72 \pm 0,17 \pm 0,33$$



# Vita media del $K_L$



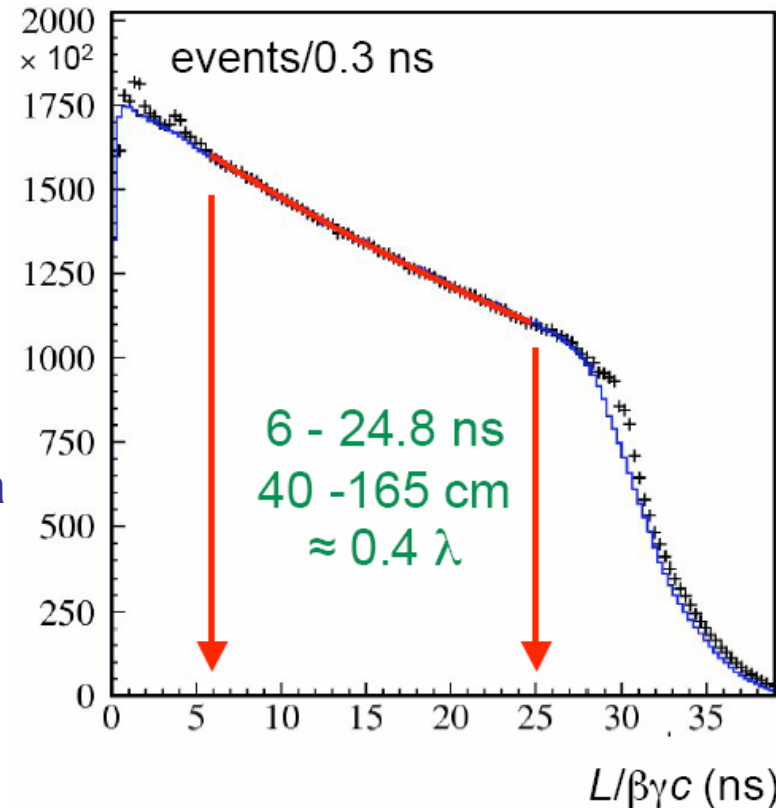
Da eventi  $K_L \rightarrow \pi^0 \pi^0 \pi^0$  con  $K_S$ -tag  
 → *massimizza eventi e  
 minimizza tag bias*  
 $400 \text{ pb}^{-1}$   $1,2 \times 10^9 \phi$   $10^7 K_L$

- Ampia accettazione  $\sim 0,4\lambda_L$   
 → *Importante, più basso  $\sigma(\tau_L)$*
- Efficienza  $\varepsilon_{\text{VTX}}$  molto alta e  $\sim$  costante con la lunghezza di decadimento
- $K_L \rightarrow \pi^+ \pi^- \pi^0$  per valutare risoluzione e scala dei tempi

$$\tau_L = 50,92 \pm 0,17 \pm 0,25 \text{ ns}$$

*Facendo la media pesata di questa e della precedente (sono scorrelate):*

$$\tau_L = 50,84 \pm 0,23 \text{ ns}$$

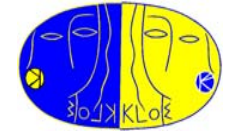


$K_L^0$  MEAN LIFE

VALUE ( $10^{-8}$ s)	EVTS	DOCUMENT ID	TECN
<b>5.116 ± 0.020</b>	<b>OUR FIT</b>		
<b>5.099 ± 0.021</b>	<b>OUR AVERAGE</b>		
5.072 ± 0.011 ± 0.035	13M	<sup>13</sup> AMBROSINO 06	KLOE
5.092 ± 0.017 ± 0.025	15M	AMBROSINO 05c	KLOE
5.154 ± 0.044	0.4M	VOSBURGH 72	CNTR



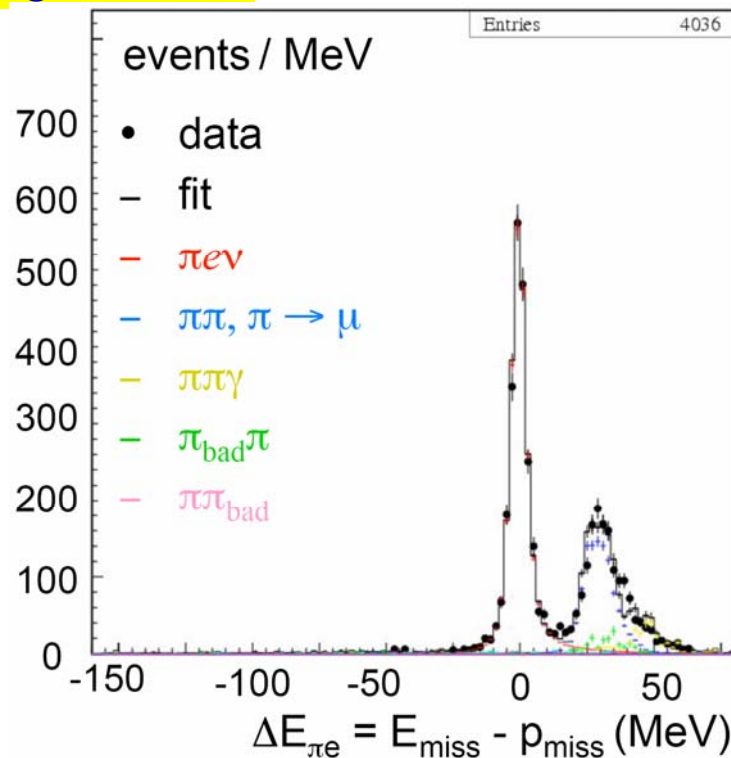
# Decadimenti semileptonici del $K_S$



$K_S \rightarrow \pi e \nu$

$K_L$ -tag  $410 \text{ pb}^{-1}$  – 13.000 eventi  $\pi e \nu$

*Prima volta*



- Due tracce di curvatura opposta
- Vertice vicino al punto d'incrocio
  - $r \leq 4 \text{ cm}$ ,  $z \leq 10 \text{ cm}$
- $M_{\pi\pi} < 490 \text{ MeV}$  assegnando la massa del  $\pi$
- $e$ - $\pi$  con TOF (dopo associazione cluster)
- Fit della distribuzione  $E_{\text{miss}}-p_{\text{miss}}$  per determinare  $N_{e\nu}$

*Normalizzando a  $\pi^+\pi^-$*

$$BR(K_S \rightarrow \pi^- e^+ \nu_e) = (3,528 \pm 0,062) \times 10^{-4}$$

$$BR(K_S \rightarrow \pi^+ e^- \bar{\nu}_e) = (3,517 \pm 0,058) \times 10^{-4}$$

$$BR(K_S \rightarrow \pi e \nu) = (7,046 \pm 0,91) \times 10^{-4}$$

$$A_S = \frac{\Gamma(K_S \rightarrow \pi^- e^+ \nu_e) - \Gamma(K_S \rightarrow \pi^+ e^- \bar{\nu}_e)}{\Gamma(K_S \rightarrow \pi^- e^+ \nu_e) + \Gamma(K_S \rightarrow \pi^+ e^- \bar{\nu}_e)}$$

$$= (1,5 \pm 9,6 \pm 2,9) \times 10^{-3}$$

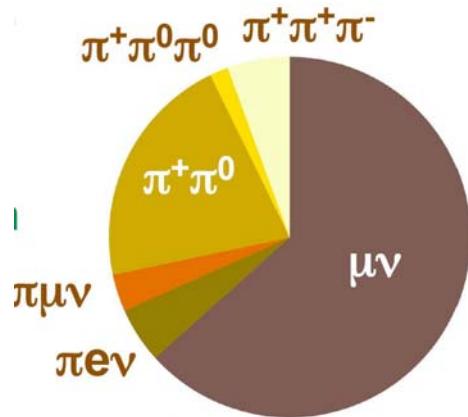
$A_S = A_L$  CPT e  $\Delta S = \Delta Q$  OK

$$A_L = 3,32 \pm 0,08 \times 10^{-3} \text{ KTeV/NA48}$$

$A_S \neq A_L$  ~~CPT~~ (mixing) e/o  $\Delta S \neq \Delta Q$  (dec)

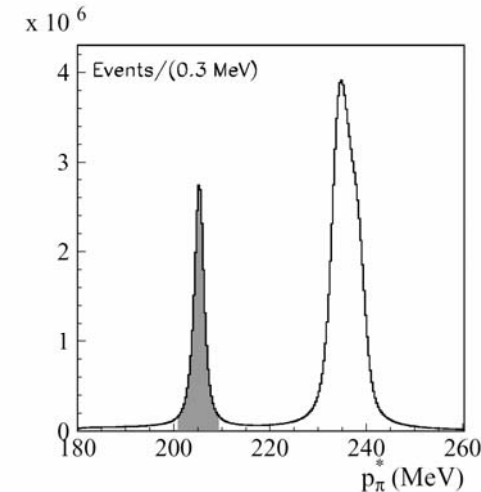
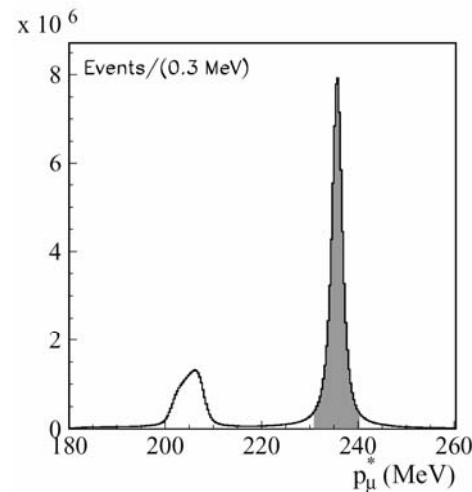
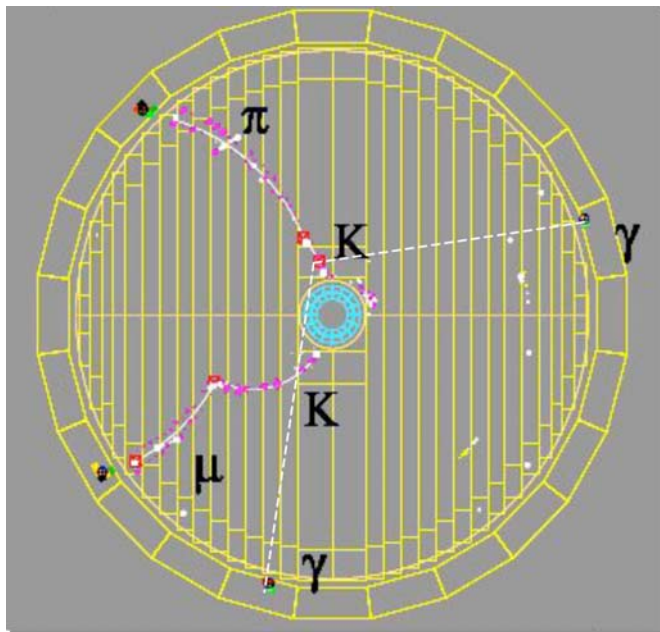


# Tagging di $K^+$ e $K^-$



Usati i decadimenti in due corpi  $K^\pm \rightarrow \mu^\pm \nu$  e  $K^\pm \rightarrow \pi^\pm \pi^0$

- **Due tracce con curvaturei dello stesso segno che formano un vertice (kink) nel VF**
- **$K$  identificato da  $70 < p_K < 130 \text{ MeV}/c$  e punto di max avvicinamento a IP tale che  $r < 10 \text{ cm}$  e  $|z| < 20 \text{ cm}$**
- **Secondario identificato da picco nella distr. di  $p^*$  (imp. nel CM del  $K$ ) calcolato in imp.  $m_\mu$  e  $m_\pi$**   
 $K_{\mu 2} \rightarrow 231 < p_\mu^* < 241 \text{ MeV}/c$   
 $K_{\pi 2} \rightarrow 201 < p_\pi^* < 209 \text{ MeV}/c$
- **Richiesto self-trigger calorimetrico per ridurre tag-bias**
- **Efficienza complessiva 5-6%**



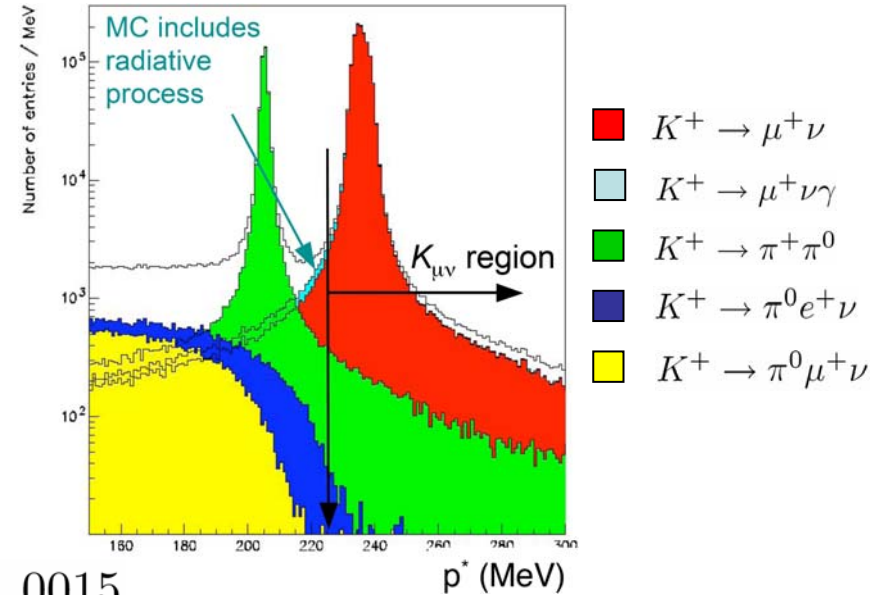
# $K^+ \rightarrow \mu^+ \nu(\gamma)$



Grazie a QCD su reticolo ( $f_K^2/f_\pi^2$ )  $\rightarrow$  alternativa ai dec. semileptonici per misurare  $V_{us}$   
 Misura più recente nel 1972: non furono pienamente considerati effetti radiativi.

**KLOE ha misurato il BR assoluto inclusivo di radiazione**

- 175 pb<sup>-1</sup>, ~60 per la misura, ~115 per valutare efficienze e fondo
- $K^+ \rightarrow \mu^+ \nu$  taggati con  $K^- \rightarrow \mu^- \nu$  per minimizzare effetti interazioni nucleari
- Selezione eventi secondo procedura tagging
- Sottratto il fondo  $K^+ \rightarrow \pi^+ \pi^0$
- Eventi contati per  $225 \leq p^* \leq 400$  MeV/c (nell'ipotesi  $m_\pi$ )
- Efficienza ~32%



$$BR(K^+ \rightarrow \mu^+ \nu(\gamma)) = 0,6366 \pm 0,0009 \pm 0,0015$$

$$\frac{\Gamma(K^\pm \rightarrow \mu^\pm \nu(\gamma))}{\Gamma(\pi^\pm \rightarrow \mu^\pm \nu(\gamma))} = \frac{|V_{us}|^2}{|V_{ud}|^2} \frac{f_K^2 m_K (1 - m_\mu^2/m_K^2)^2}{f_\pi^2 m_\pi (1 - m_\mu^2/m_\pi^2)^2} [1 + \mathcal{O}(\alpha/\pi)]$$

Dalla teoria

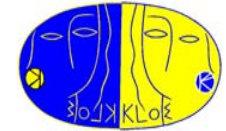
$$|V_{us}| = 0,2223 \pm 0,0026$$

$\Gamma(\mu^+ \nu_\mu)/\Gamma_{total}$	VALUE (units $10^{-2}$ )	EVTS	DOCUMENT ID	TECN	CHG
	<b>63.44 ± 0.14 OUR FIT</b>				
	<b>63.60 ± 0.16 OUR AVERAGE</b>				
	63.66 ± 0.09 ± 0.15	865k	<sup>9</sup> AMBROSINO 06A KLOE	+	
	63.24 ± 0.44	62k	CHIANG 72 OSPK	+	

<sup>9</sup>Fully inclusive. Used tagged kaons from  $\phi$  decays.



# Decadimenti semileptonici di $K^\pm$



Misurati BR assoluti usando un campione di oltre  $600 \times 10^6 \phi \rightarrow K^+ K^-$

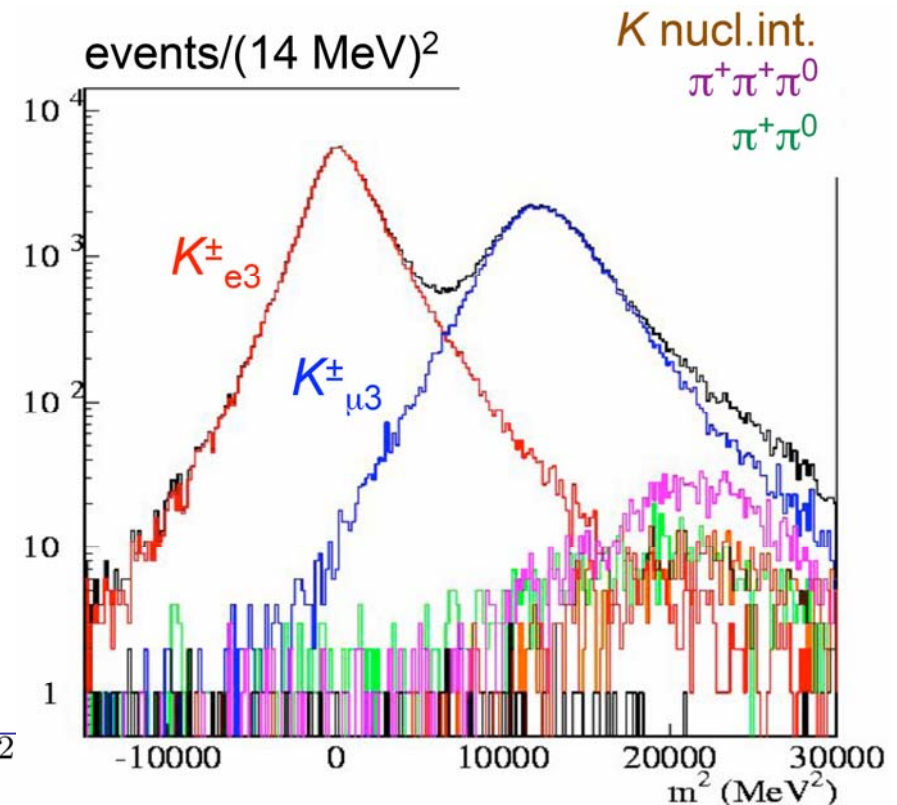
- 4 campioni distinti con tag:  $K^- \rightarrow \mu^- \nu$ ,  $K^+ \rightarrow \mu^+ \nu$ ,  $K^- \rightarrow \pi^- \pi^0$ ,  $K^+ \rightarrow \pi^+ \pi^0$
- analizzati indipendentemente per ridurre sistematiche
- Tagli cinematici su secondario carico per rigettare due corpi e  $K_{3\pi}$
- Tempo di volo per separazione e- $\mu$
- Numero di eventi dal fit di  $m^2_{lept}$

Mediando i dati dei quattro campioni:

$$BR(K_{e3}) = (4,965 \pm 0,038 \pm 0,037) \times 10^{-2}$$

$$BR(K_{\mu3}) = (3,233 \pm 0,029 \pm 0,026) \times 10^{-2}$$

$$\frac{\Gamma(K_{\mu3})}{\Gamma(K_{e3})} = 0,6511 \pm 0,0064 \text{ accordo entro } 1,5\sigma \text{ con } R_{\mu e}^{SM} = 0,6646 (61)$$



*Radiazione inclusa non essendo richiesta chiusura cinematica*





# Vita media di $K^\pm$



- 210 pb<sup>-1</sup> - Eventi taggati con  $K \rightarrow \mu \nu$
- Usati due metodi per controllo incrociato errori sistematici

## 1° metodo: $\tau^\pm$ dalla lunghezza di decadimento (solo DC)

- Usati tutti i tipi di decadimento
- Identificato il vertice di decadimento (nel VF)
- Ricostruita la lunghezza di decadimento
- $\tau_K$  dal fit del tempo proprio  $t_K = L/\beta\gamma c$

## 2° metodo: $\tau^\pm$ dal tempo di decadimento (solo cal.)

- Usati  $K^\pm \rightarrow X^\pm \pi^0$
- Usato il tag per stimare  $T^0$
- $t_K = (t_\gamma - L_\gamma/c - T^0)\gamma_K$
- $\tau_K$  dal fit del tempo proprio  $t_K$

$$\tau = (12,337 \pm 0,030) \text{ ns}$$

$$PDG : \tau = (12,384 \pm 0,024) \text{ ns}$$

$$\frac{\tau^+}{\tau^-} = 1,004 \pm 0,004$$



# K → πlv: fattori di forma



$$\langle \pi | J_\mu^{adr} | K \rangle = f_+(t) (P + p)_\mu + f_-(t) (P - p)_\mu$$

$$f_0(t) = f_+(t) + \frac{t}{m_K^2 - m_\pi^2} f_-(t) \quad f_+(0) = f_0(0)$$

$$\langle \pi | J_\mu^{adr} | K \rangle = f_+(0) [(P + p)_\mu \tilde{f}_+(t) + (P - p)_\mu (\tilde{f}_0(t) - \tilde{f}_+(t)) \frac{m_K^2 - m_\pi^2}{t}]$$

Sviluppati in potenze di t

$\approx m_l \rightarrow$  Solo  $\tilde{f}_+$  per Ke3

vettoriale

$$\tilde{f}_+(t) = 1 + \lambda'_+ \frac{t}{m_\pi^2} + \frac{1}{2} \lambda''_+ \left( \frac{t}{m_\pi^2} \right)^2 + \dots$$

scalare

$$\tilde{f}_0(t) = 1 + \lambda'_0 \frac{t}{m_\pi^2} + \frac{1}{2} \lambda''_0 \left( \frac{t}{m_\pi^2} \right)^2 + \dots$$

o come polo

$$\tilde{f}_+(t) = \frac{1}{1 - t/M_V^2}$$

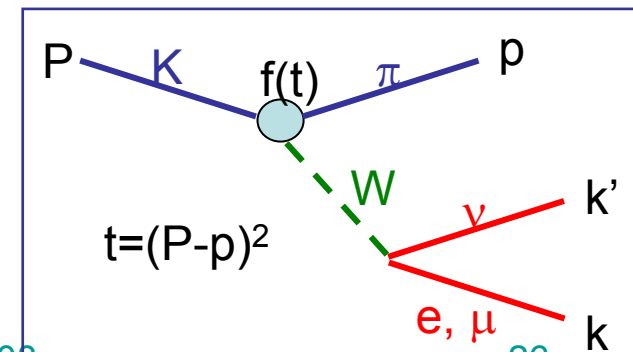
$$\tilde{f}_0(t) = \frac{1}{1 - t/M_S^2}$$

$$\Rightarrow \lambda' = (m_\pi/M)^2 \quad \lambda'' = 2\lambda'^2$$

I parametri  $\lambda$  sono estratti fittando la funzione densità degli eventi

$\rightarrow$   $\lambda'$  e  $\lambda''$  fortemente correlati

KLOE ha usato una nuova parametrizzazione basata su relazioni di dispersioni

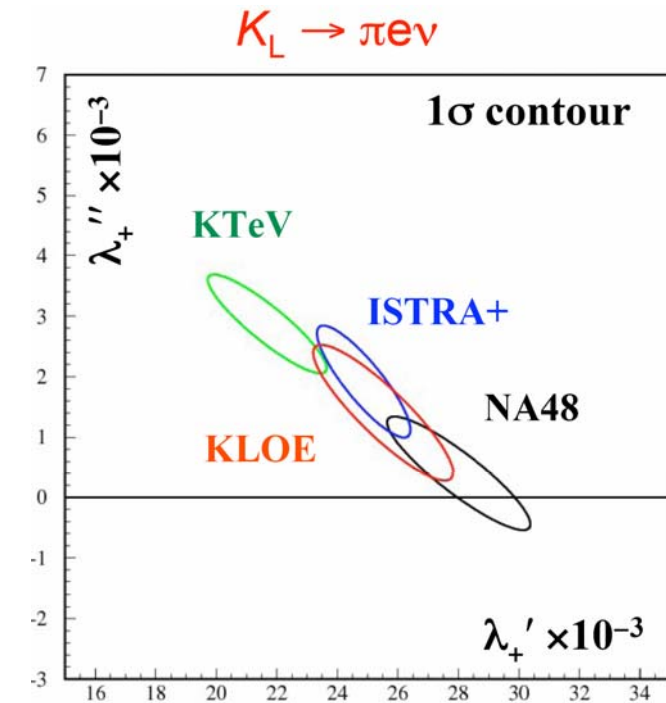


# $K \rightarrow \pi l \nu$ : fattori di forma/2

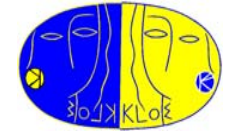


## $K_{Le3}$

- 328 pb<sup>-1</sup>, 2 · 10<sup>6</sup> K<sub>L</sub> - stesso campione decad. K<sub>L</sub>
  - Tagli cinematici più stringenti
  - TOF per separazione e-μ-π
  - Misure separate per ciascuno stato di carica (e<sup>+</sup>π<sup>-</sup>, e<sup>-</sup>π<sup>+</sup>)
- Sviluppo lineare  $\lambda_+ = (28,6 \pm 0,5 \pm 0,4) \cdot 10^{-3}$
- Sviluppo quadratico  $\lambda'_+ = (25,5 \pm 1,5 \pm 1,0) \cdot 10^{-3}$   
 $\lambda''_+ = (1,4 \pm 0,7 \pm 0,4) \cdot 10^{-3}$
- Polo  $M_V = (870 \pm 6 \pm 7) \text{ MeV}$ 
  - KTeV  $M_V = (882,3 \pm 6,5) \text{ MeV}$
  - NA48  $M_V = (859 \pm 18) \text{ MeV}$



# $K \rightarrow \pi l \nu$ : fattori di forma/3



- **$K_{L\mu 3}$**

Più difficile – Separazione  $\pi-\mu$  problematica – Invece di  $E_\pi$  (equiv. a t) fit di  $E_\nu$  dopo integraz. su  $E_\pi$ .  $E_\nu$  = momento mancante (nel CM del K)  $\rightarrow$  nessuna necessità di separare  $\pi-\mu$

– 328 pb<sup>-1</sup>, 1,8 10<sup>6</sup> KL - stesso campione decad.  $K_L$

$$\lambda'_+ = (22,3 \pm 9,8 \pm 3,7) \times 10^{-3}$$

$$\lambda''_+ = (4,8 \pm 4,9 \pm 1,6) \times 10^{-3}$$

$$\lambda'_0 = (9,1 \pm 5,9 \pm 2,6) \times 10^{-3}$$

- Combinando questi con quelli di  $K_{e3}$

$$\lambda'_+ = (25,6 \pm 1,7) \times 10^{-3}$$

$$\lambda''_+ = (1,5 \pm 0,8) \times 10^{-3}$$

$$\lambda'_0 = (15,4 \pm 2,2) \times 10^{-3}$$

- C'è una forte correlazione tra i parametri del fit quadratico. KLOE ha usato una nuova parametrizzazione basata su relazione di dispersione, con la quale si fitta un solo parametro sia per FF scalare che vettoriale. Combinando  $K_{e3}$  e  $K_{\mu 3}$  si ha

- $\lambda_+ = (25,7 \pm 0,4 \pm 0,4) 10^{-3}$

- $\lambda_0 = (14,0 \pm 1,6 \pm 1,3) 10^{-3}$



# $|f_+(0)V_{us}|$



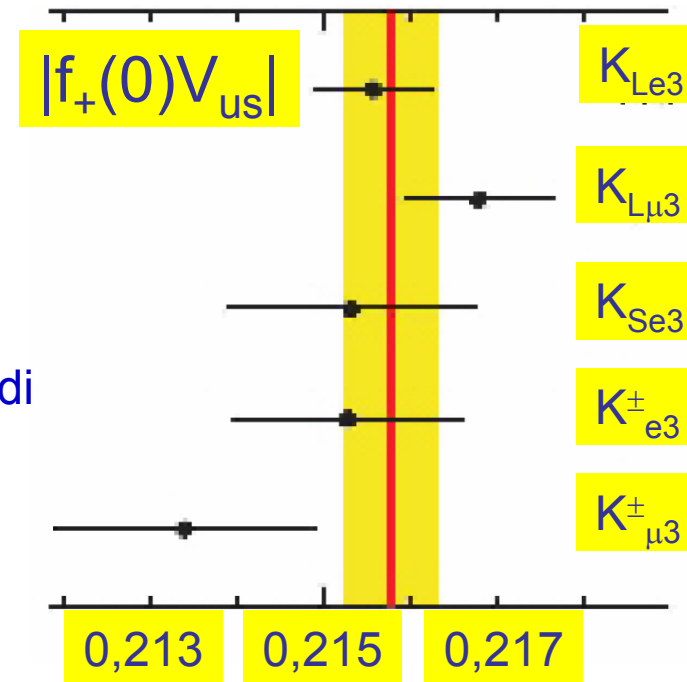
Parametri	$\mathbf{I}(K_{e3}^0)$	$\mathbf{I}(K_{\mu 3}^0)$	$\mathbf{I}(K_{e3}^{\pm})$	$\mathbf{I}(K_{\mu 3}^{\pm})$
$\lambda'_+, \lambda''_+, \lambda'_0$	0,15483 (40)	0,10271 (52)	0,15919 (54)	0,10568 (54)
$\lambda_+, \lambda_0$	0,15477 (35)	0,10262 (47)	0,15913 (36)	0,10559 (48)
$\Delta$ (%)	0,04	0,09	0,04	0,09

Canale	$\delta_K^{SU(2)}$	$\delta_{Kl}^{em}$
$K_{e3}^0$	0	0,57 (15) %
$K_{\mu 3}^0$	0	0,80 (15) %
$K_{e3}^{\pm}$	2,36 (22) %	0,08 (15) %
$K_{\mu 3}^{\pm}$	2,36 (22) %	0,05 (15) %

- Calcolato indipendentemente per i cinque modi

$$K_{Le3}^0, K_{L\mu 3}^0, K_{Se3}^0, K_{e3}^{\pm} \text{ e } K_{\mu 3}^{\pm}$$

- Mediando



$$|f_+(0)V_{us}| = 0,2157 \pm 0,0006$$



# Universalità e-μ



$$r_{\mu e} \equiv \frac{|f_+(0) V_{us}|_{\mu 3, sper}^2}{|f_+(0) V_{us}|_{e 3, sper}^2} = \frac{\Gamma_{\mu 3} I_{e 3} (1 + \delta_{Ke})^2}{\Gamma_{e 3} I_{\mu 3} (1 + \delta_{K\mu})^2}$$

$$\delta_{Kl} = \delta_K^{SU(2)} + \delta_{Kl}^{em}$$

$$r_{\mu e} = \frac{g_\mu^2}{g_e^2} \longrightarrow = 1 \text{ nel MS}$$

- Mediando i modi carichi e neutri troviamo

$$r_{\mu e} = 1,000 \pm 0,008$$

- Per confronto:

$$(r_{\mu e})_\pi = 1,0042 \pm 0,0033 \text{ (Ramsey_Musolf et al., Phys. Rev. D76 (2007) 095017)}$$

$$(r_{\mu e})_\tau = 1,000 \pm 0,004 \text{ (Davier et al., Rev. Mod. Phys. 78 (2006) 1043)}$$



# Unitarietà di CKM



- Usando un valore recente di  $f_+(0)$  da QCD su reticolo (Boyle et al., arXiv: 0710.5136)  $f_+(0) = 0,9644 \pm 0,0049$

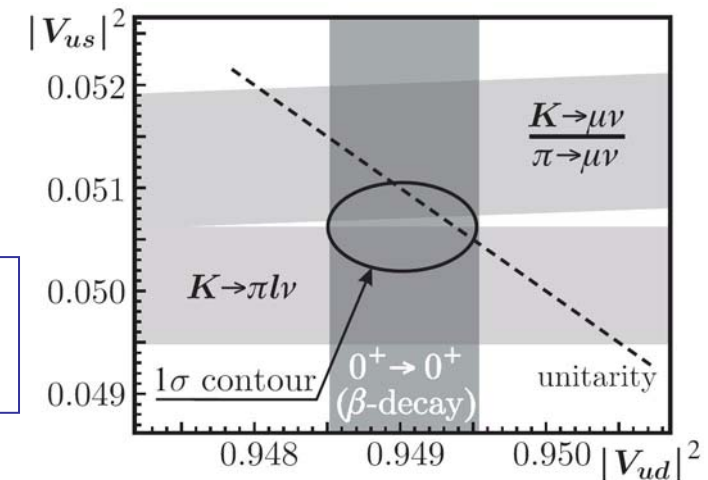
$$\Rightarrow |V_{us}| = 0,2237 \pm 0,0013$$

e con un valore recente  $|V_{ud}| = 0,97418$  da dec.  $\beta$  superpermessi (Towner, Hardy, arXiv: 0710.3181)

$$\Rightarrow |V_{ud}|^2 + |V_{us}|^2 - 1 = -0,0009 \pm 0,0008$$

*compatibile con unitarietà CKM entro ~0,1%*

- Ulteriori informazioni calcolando  $|V_{us}|/|V_{ud}|$



PDG

$$f_K/f_\pi = 1,189 \pm 0,007$$

(E. Follana et al., arXiv: 0706.1726)

$$0,9930 \pm 0,0035$$

(Marciano, Phys. Rev. Lett. 93(2004)231803)

$$\frac{\Gamma(K_{\mu 2}(\gamma))}{\Gamma(\pi_{\mu 2}(\gamma))} = \frac{|V_{us}|^2 f_K^2 m_K (1 - m_\mu^2/m_K^2)^2}{|V_{ud}|^2 f_\pi^2 m_\pi (1 - m_\mu^2/m_K^2)^2} \times \frac{1 + \frac{\alpha}{\pi} C_K}{1 + \frac{\alpha}{\pi} C_\pi} \Rightarrow |V_{us}|^2/|V_{ud}|^2 = 0,0541 \pm 0,007$$

<ul style="list-style-type: none"> <li><math> V_{us} ^2/ V_{ud} ^2</math></li> <li><math> V_{ud} </math></li> <li><math> V_{us} </math></li> </ul>	questo dec $\beta$ KLOE	<b>fit</b>	$ V_{us}  = 0,2249 \pm 0,0010$ $ V_{ud}  = 0,97417 \pm 0,0026$ $1 -  V_{ud} ^2 -  V_{us} ^2 = 0,0004 \pm 0,0007 \quad (\sim 0,6\sigma)$
--	-------------------------------	------------	---





---

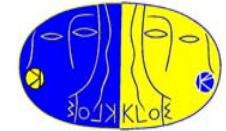
# *Fisica dei K*

## *Test di simmetrie*





# Gli stati $K_S$ e $K_L$ - $\text{Re}(\epsilon'/\epsilon)$ - *Richiami*



Il sistema dei  $K^0$  è descritto dall'equazione

$$i \frac{\partial}{\partial t} \psi(t) = H \psi(t) = \left( M - \frac{i}{2} \Gamma \right) \psi(t)$$

Autostati

$$K_{S,L} = \frac{1}{\sqrt{2(1 + |\epsilon_{S,L}|^2)}} [(1 + \epsilon_{S,L}) K^0 \pm (1 - \epsilon_{S,L}) \bar{K}^0]$$

Con

$$\epsilon_{S,L} = \frac{-i \text{Im}(m_{12}) - \frac{1}{2} \text{Im}(\Gamma_{12}) \pm \frac{1}{2} [m_{K^0} - m_{\bar{K}^0} - \frac{i}{2} (\Gamma_{\bar{K}^0} - \Gamma_{K^0})]}{m_L - m_S + i \frac{(\Gamma_S - \Gamma_L)}{2}}$$

$$\equiv \epsilon \pm \delta$$

$$\text{CPT} \begin{cases} M_{11} = M_{22} & (\text{ovvero } m_{K^0} = m_{\bar{K}^0}) \\ \Gamma_{11} = \Gamma_{22} & (\text{ovvero } \Gamma_{K^0} = \Gamma_{\bar{K}^0}) \end{cases}$$

$$\epsilon \rightarrow \cancel{\text{CP}}$$

$$\delta \rightarrow \cancel{\text{CPT}}$$

I parametri  $\epsilon$  e  $\delta$  si collegano a grandezze misurabili per mezzo delle ampiezze di decadimento in stati finali definiti. Per il decadimento in  $2\pi$

$$\eta_{+-} = \frac{\langle \pi^+ \pi^- | T | K_L \rangle}{\langle \pi^+ \pi^- | T | K_S \rangle} \simeq \tilde{\epsilon} + \epsilon'$$

$$\eta_{00} = \frac{\langle \pi^0 \pi^0 | T | K_L \rangle}{\langle \pi^0 \pi^0 | T | K_S \rangle} \simeq \tilde{\epsilon} - 2\epsilon'$$

$$\text{CPT esatta} \begin{cases} \tilde{\epsilon} = \epsilon & \cancel{\text{CP}} \text{ "indiretta"} \\ \epsilon' & \cancel{\text{CP}} \text{ "diretta"} \end{cases}$$

$\phi_{+-} \simeq \phi_{00} \rightarrow \text{Re}(\epsilon'/\epsilon)$  misura  $\cancel{\text{CP}}$  "diretta"

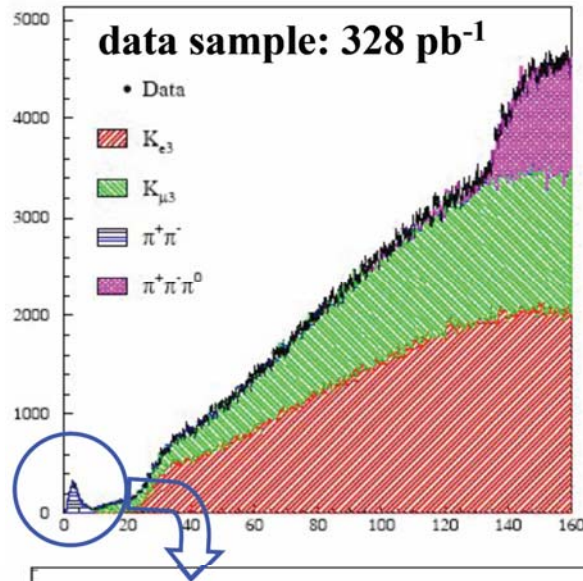
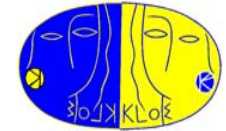
Ottenuta con "doppio rapporto"

$$R = \left| \frac{\eta_{+-}}{\eta_{00}} \right|^2 = \frac{\Gamma(K_L \rightarrow \pi^+ \pi^-) \Gamma(K_S \rightarrow \pi^0 \pi^0)}{\Gamma(K_L \rightarrow \pi^0 \pi^0) \Gamma(K_S \rightarrow \pi^+ \pi^-)} \simeq 1 + 6 \text{Re}(\epsilon'/\epsilon)$$

$$\text{Re}(\epsilon'/\epsilon) \approx \epsilon'/\epsilon = (1.66 \pm 0.26) \times 10^{-3}$$



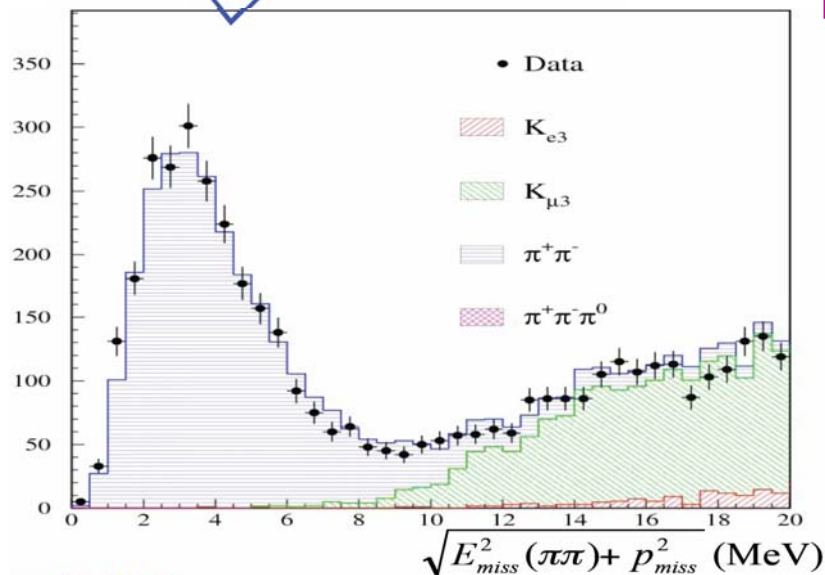
# Decadimento $K_L \rightarrow \pi^+ \pi^-$



- Due tracce di carica opposta
- Che fanno un vertice nel VF
- $\sqrt{(E_{\text{miss}}^2 + p_{\text{miss}}^2)}$  migliore discr. per  $(\pi^+ \pi^- \pi^0, \pi e \nu, \pi \mu \nu)$
- Fit della distribuzione con andamenti MC
- Normalizzazione a  $K_L \rightarrow \pi \mu \nu$  per ridurre sistematiche dovute a tag bias

$$\text{BR}(K_L \rightarrow \pi^+ \pi^-) = (1,963 \pm 0,012 \pm 0,017) \times 10^{-3}$$

[Include radiazione di stato finale (sia IB che DE)]



In this 2006 edition of the *Review of Particle Physics*, the values of  $|\epsilon|$ ,  $|\eta_{+-}|$ , and  $|\eta_{00}|$  decrease significantly as a result of the high precision measurements of  $K_L^0$  branching ratios from KTeV, KLOE, and NA48. These measurements reduce the branching ratio  $\Gamma(K_L^0 \rightarrow \pi^+ \pi^-) / \Gamma(\text{total})$  by 5.5 percent, a  $4.6\sigma$  decrease relative to the 2004 edition [21].

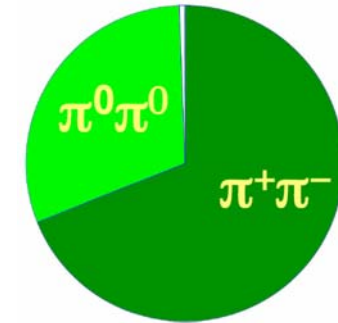


# Decadimenti principali del $K_S$



Misura di  $R_S = \Gamma[K_S \rightarrow \pi^+\pi^-(\gamma)] / \Gamma[K_S \rightarrow \pi^0\pi^0]$

$K_L$ -tag  $410 \text{ pb}^{-1}$



$K_S \rightarrow \pi^+\pi^-$

- Due tracce di curvatura opposta
- Vertice vicino al punto d'incrocio
  - $r \leq 4 \text{ cm}$ ,  $z \leq 10 \text{ cm}$
- $120 < p < 300 \text{ MeV}/c$
- accettanza x efficienza  $\sim 0,59$

$K_S \rightarrow \pi^0\pi^0$

- Almeno 3 cluster "pronti"
- $|t_{cl} - r_{cl}/c| < 5 \sigma_t$
- $E_{cl} > 20 \text{ MeV}/c$   $25^\circ < \theta_{cl} < 155^\circ$ 
  - Riduce il fondo macchina
- Accettanza x efficienza  $\sim 0,85$

$$R_S = 2,2549 \pm 0,0054$$

dall'altro con universalità

Includendo  $K_S \rightarrow \pi e \nu$  e  $K_S \rightarrow \pi \mu \nu$  e normalizzando  $\sum_i BR_i = 1$

da KLOE

$$BR(K_S \rightarrow \pi^+\pi^-(\gamma)) = (69,196 \pm 0,051)\%$$

$$BR(K_S \rightarrow \pi^0\pi^0) = (30,678 \pm 0,051)\%$$



# Relazione di Bell-Steinberger – Test di CPT



Il sistema dei  $K^0$  fornisce la sonda più sensibile per test di CPT

$$i \frac{\partial}{\partial t} \psi(t) = H \psi(t) = \left( M - \frac{i}{2} \Gamma \right) \psi(t)$$

$$K_{S,L} = \frac{1}{\sqrt{2(1 + |\epsilon_{S,L}|^2)}} [(1 + \epsilon_{S,L}) K^0 \pm (1 - \epsilon_{S,L}) \bar{K}^0]$$

$$\epsilon_{S,L} = \frac{-i \operatorname{Im}(m_{12}) - \frac{1}{2} \operatorname{Im}(\Gamma_{12}) \pm \frac{1}{2} [m_{K^0} - m_{\bar{K}^0} - \frac{i}{2} (\Gamma_{\bar{K}^0} - \Gamma_{K^0})]}{m_L - m_S + i \frac{(\Gamma_S - \Gamma_L)}{2}}$$

$$\equiv \epsilon \pm \delta$$

$$\text{CPT} \begin{cases} M_{11} = M_{22} & (\text{ovvero } m_{K^0} = m_{\bar{K}^0}) \\ \Gamma_{11} = \Gamma_{22} & (\text{ovvero } \Gamma_{K^0} = \Gamma_{\bar{K}^0}) \end{cases}$$

$$\epsilon \rightarrow \cancel{\text{CP}}$$

$$\delta \rightarrow \cancel{\text{CPT}}$$

L'unitarietà permette di scrivere

$$\Gamma_{ij} = \sum_f \mathcal{A}_i(f) \mathcal{A}_j^*(f) \quad (i, j = 1, 2 \equiv K^0, \bar{K}^0)$$

e quindi

$$\left[ \frac{\Gamma_S + \Gamma_L}{\Gamma_S - \Gamma_L} + i \tan \phi_{SW} \right] \left[ \frac{\operatorname{Re}(\epsilon)}{1 + |\epsilon|^2} - \operatorname{Im}(\delta) \right] = \frac{1}{\Gamma_S - \Gamma_L} \sum_f \mathcal{A}_L(f) \mathcal{A}_S^*(f)$$

← B. S. R.

$$\tan \phi_{SW} = \frac{2(m_L - m_S)}{\Gamma_S - \Gamma_L} = \frac{2\Delta m}{\Gamma_S - \Gamma_L}$$

BRS: una relazione tra  $\operatorname{Re}(\epsilon)$ ,  $\operatorname{Im}(\delta)$  e ampiezze di decadimento

Se  $\operatorname{Im}(\delta) \neq 0$  allora CPT o l'unitarietà (o entrambe) sono violate



# Relazione di Bell-Steinberger – Test di CPT/2



Vantaggio  $K^0$  - solo pochi stati finali da considerare ( $\pi\pi(\gamma)$ ,  $\pi\pi\pi$ ,  $\pi l\nu$ ) per significatività al livello  $10^{-7}$   
I prodotti delle ampiezze sono espressi da parametri  $\alpha_i$  ricavabili dai ris. sperimentali. Così:

$$\begin{bmatrix} \frac{\text{Re}(\epsilon)}{1+|\epsilon|^2} \\ \text{Im}(\delta) \end{bmatrix} = \frac{1}{N} \begin{bmatrix} 1 + \kappa(1 - 2b) & (1 - \kappa) \tan \phi_{SW} \\ (1 - \kappa) \tan \phi_{SW} & -(1 + \kappa) \end{bmatrix} \begin{bmatrix} \sum_i \text{Re}(\alpha_i) \\ \sum_i \text{Im}(\alpha_i) \end{bmatrix}$$

$$\kappa = \frac{\tau_S}{\tau_L}$$

$$b = (K_L \rightarrow \pi l\nu)$$

$$N = N(\kappa, b, \tan \phi_{SW})$$

## Modi adronici

$$\alpha_i = \frac{1}{\Gamma_S} \langle \mathcal{A}_L(i) \mathcal{A}_S^*(i) \rangle = \eta_i BR(K_S \rightarrow i)$$

$$i = \pi^0\pi^0, \pi^+\pi^-(\gamma), \pi^0\pi^0\pi^0, \pi^+\pi^-\pi^0(\gamma)$$

## Modi semileptonici

$$\alpha_{\pi l\nu} = \frac{1}{\Gamma_S} \sum_{\pi l\nu} \langle \mathcal{A}_L(\pi l\nu) \mathcal{A}_S^*(\pi l\nu) \rangle + 2i \frac{\tau_S}{\tau_L} BR(K_L \rightarrow \pi l\nu) \text{Im}(\delta)$$

$$= 2i \frac{\tau_S}{\tau_L} BR(K_L \rightarrow \pi l\nu) [(A_S + A_L)/4 - i \text{Im}(x_+)]$$

$$A = \frac{\Gamma(K \rightarrow \pi^- l^+ \nu) - \Gamma(K \rightarrow \pi^+ l^- \bar{\nu})}{\Gamma(K \rightarrow \pi^- l^+ \nu) + \Gamma(K \rightarrow \pi^+ l^- \bar{\nu})}$$

$$\mathcal{A}(K^0 \rightarrow \pi^- l^+ \nu) = \mathcal{A}_0 (1 - y)$$

$$\mathcal{A}(K^0 \rightarrow \pi^+ l^- \bar{\nu}) = \mathcal{A}_0^* (1 + y^*) (x_+ - x_-)^*$$

$$\mathcal{A}(\bar{K}^0 \rightarrow \pi^+ l^- \bar{\nu}) = \mathcal{A}_0^* (1 + y^*)$$

$$\mathcal{A}(\bar{K}^0 \rightarrow \pi^- l^+ \nu) = \mathcal{A}_0 (1 - y) (x_+ + x_-)$$

$$x_+ \longrightarrow \text{NO } \Delta S = \Delta Q ; \text{ SI } CPT$$

$$x_- \longrightarrow \text{NO } \Delta S = \Delta Q ; \text{ NO } CPT$$

$$y \longrightarrow \text{SI } \Delta S = \Delta Q ; \text{ NO } CPT$$



# Re( $\epsilon$ ), Im( $\delta$ ), $\Delta M$



Grandezza	Origine
$\tau_{K_S}$	PDG
$\tau_{K_L}$	media KLOE
$m_L - m_S$	PDG
$BR(K_S \rightarrow \pi^+\pi^-)$	media KLOE
$BR(K_S \rightarrow \pi^0\pi^0)$	media KLOE
$BR(K_S \rightarrow \pi l\nu)$	KLOE
$BR(K_L \rightarrow \pi^+\pi^-)$	media KLOE
$BR(K_L \rightarrow \pi^0\pi^0)$	media KLOE
$\phi_{+-}$	PDG
$\phi_{00}$	PDG
$R_{S,\gamma}(E_\gamma > 20\text{MeV})$	E773
$R_{S,\gamma}^{th-IB}(E_\gamma > 20\text{MeV})$	KLOE MC
$ \eta_{+-\gamma} $	E773
$\phi_{+-\gamma}$	E773
$BR(K_L \rightarrow \pi^+\pi^-\pi^0)$	media KLOE
$\eta_{+-0}$	CPLEAR
$BR(K_L \rightarrow \pi^0\pi^0\pi^0)$	media KLOE
$BR(K_S \rightarrow \pi^0\pi^0\pi^0)$	KLOE
$BR(K_L \rightarrow \pi l\nu)$	media KLOE
$A_L$	PDG
$A_S$	KLOE
$\text{Im}(x_+)$	CPLEAR, NA48, KLOE

## Risultati

$$\Re(\epsilon) = (159,6 \pm 1,3) \times 10^{-5}$$

$$\Im(\delta) = (0,4 \pm 2,1) \times 10^{-5}$$

Si ottiene, inoltre, nel lim.  $\Gamma_{K^0} = \Gamma_{\bar{K}^0}$

$$-5,3 \cdot 10^{-19} < \Delta M < 6,3 \cdot 10^{-19} \text{ GeV}$$

(95% CL)

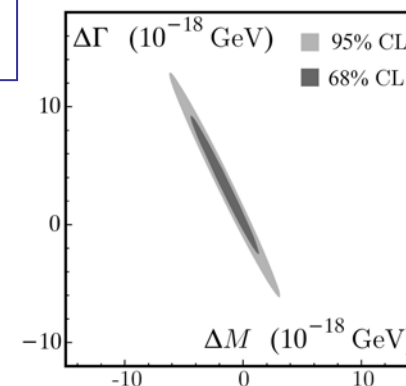
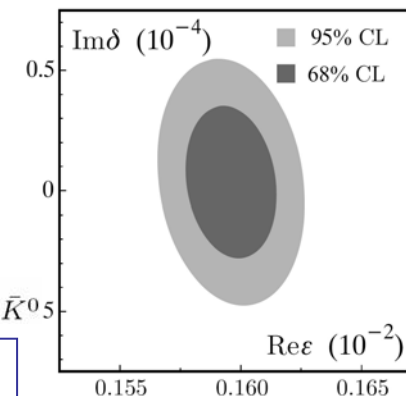
$$\Delta M = m_{K^0} - m_{\bar{K}^0}$$

Migliorano notevolmente i risultati precedenti di CPLEAR

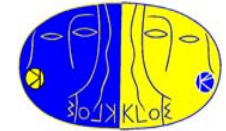
$$\Re(\epsilon) = (164,9 \pm 2,5) \times 10^{-5}$$

$$\Im(\delta) = (2,4 \pm 5,0) \times 10^{-5}$$

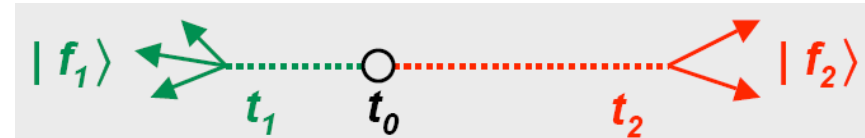
$$|\Delta M| < 12,7 \cdot 10^{-19} \text{ GeV (90% CL)}$$



# Evoluzione di $K_S$ e $K_L$ - Interferometria



$$|i\rangle = \frac{1}{\sqrt{2}} [K_S(\mathbf{p}) K_L(-\mathbf{p}) - K_S(-\mathbf{p}) K_L(\mathbf{p})]$$



*Evoluzione temporale del sistema data da*

$$\begin{aligned} \langle f_1, t_1; f_2, t_2 | i \rangle &= \frac{1}{\sqrt{2}} [\langle f_1, t_1 | K_S(\mathbf{p}) \rangle \langle f_2, t_2 | K_L(-\mathbf{p}) \rangle - \langle f_2, t_2 | K_S(-\mathbf{p}) \rangle \langle f_1, t_1 | K_L(\mathbf{p}) \rangle] \\ &= \frac{\langle f_1 | K_S \rangle \langle f_2 | K_S \rangle}{\sqrt{2}} [\eta_2 e^{-(\Gamma_S t_1 + \Gamma_L t_2)/2} e^{-i(m_S t_1 + m_L t_2)} - \eta_1 e^{-(\Gamma_S t_2 + \Gamma_L t_1)/2} e^{-i(m_S t_2 + m_L t_1)}] \end{aligned}$$

*Numero dei decadimenti allo stato  $f_1$  a  $t_1$  e  $f_2$  a  $t_2$*

$$\begin{aligned} I(f_1, t_1; f_2, t_2) &= \frac{|\langle f_1 | K_S \rangle \langle f_2 | K_S \rangle|^2}{2} [|\eta_1|^2 e^{-(\Gamma_L t_1 + \Gamma_S t_2)} + |\eta_2|^2 e^{-(\Gamma_S t_1 + \Gamma_L t_2)} \\ &\quad - 2|\eta_1| |\eta_2| e^{-(\Gamma_S + \Gamma_L)(t_1 + t_2)/2} \cos(\Delta m(t_2 - t_1) + \phi_1 - \phi_2)] \end{aligned}$$

*e integrando su  $t_1$  e  $t_2$  per  $\Delta t = |t_2 - t_1|$  fissato*

$$\begin{aligned} I(f_1, f_2, \Delta t) &= \frac{|\langle f_1 | K_S \rangle \langle f_2 | K_S \rangle|^2}{2(\Gamma_S + \Gamma_L)} [|\eta_2|^2 e^{-\Gamma_S \Delta t} + |\eta_1|^2 e^{-\Gamma_L \Delta t} \\ &\quad - 2|\eta_1| |\eta_2| e^{-(\Gamma_S + \Gamma_L)\Delta t/2} \cos(\Delta m \Delta t + \phi_2 - \phi_1)] \end{aligned}$$

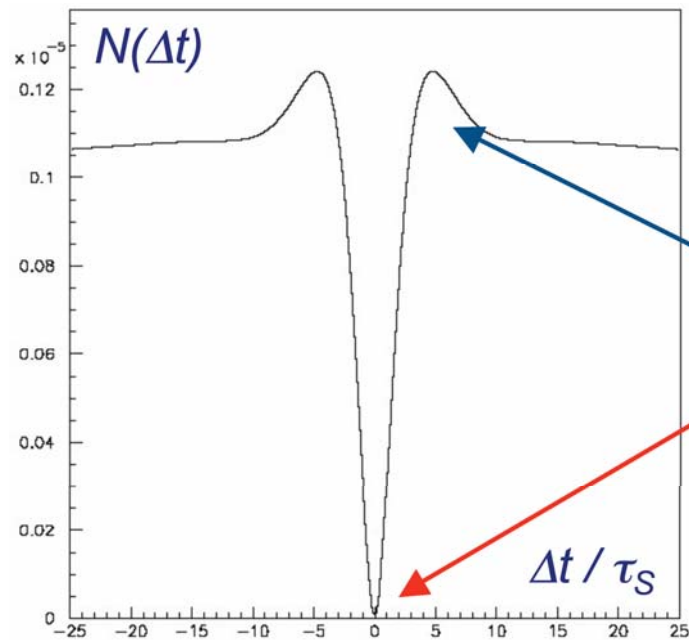




Diverse figure d'interferenza per i diversi modi di decadimento

$$f_1 = f_2 = \pi^+ \pi^-$$

$$I(\pi^+ \pi^-, \Delta t) = \frac{|\langle \pi^+ \pi^- | K_S \rangle|^4}{2(\Gamma_S + \Gamma_L)} |\eta_{+-}|^2 \left[ e^{-\Gamma_L \Delta t} + e^{-\Gamma_S \Delta t} - 2e^{-(\Gamma_S + \Gamma_L)\Delta t/2} \cos(\Delta m \Delta t) \right]$$



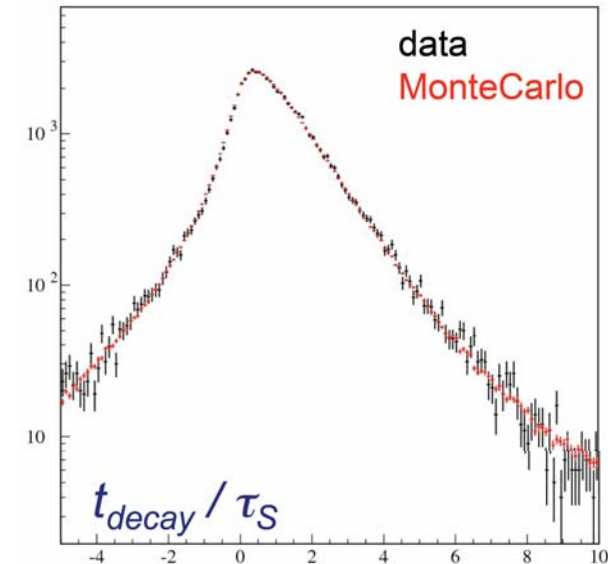
$$\Delta m = m_L - m_S$$

posizione e altezza  
picco sensibile a  $\Delta m$

$I = 0$  per  $\Delta t = 0$ !  
 $\Rightarrow$  *paradosso EPR*

$$\sigma_t = (1,15 \pm 0,2) \tau_S$$

Necessaria  $\sigma_t$  ordine  $\tau_S$



*Fit con esponenziale  
convoluto con gaussiana*

$$\tau_S = (0,9030 \pm 0,0056) 10^{-10} \text{ s}$$

$$\text{PDG } (0,8935 \pm 0,0008) 10^{-10} \text{ s}$$





# Test della coerenza quantistica e di CPT



380 pb<sup>-1</sup> – 7366 eventi

**Prima volta**

**Rigenerazione  $K_L \rightarrow K_S$  sulla beam pipe**

**Fondo non risonante  $e^+e^- \rightarrow \pi^+\pi^-\pi^+\pi^-$**

**Test coerenza quant. fittando un param. di decoerenza  $\zeta$**

$$I(\Delta t) \propto e^{-\Gamma_S \Delta t} + e^{-\Gamma_L \Delta t} - 2(1 - \zeta) e^{-(\Gamma_S + \Gamma_L) \Delta t / 2} \cos(\Delta m \Delta t)$$

**Modelli di gravità quantistica prevedono la possibilità di decoerenza e violazione di CPT. Fluttuazioni spazio-temporali alla scala di Plank farebbeo traf. stato puro in misto dando luogo a violazioni di MQ e CPT. In tale contesto lo stato iniziale  $C=-1$  può acquistare una componente  $C=+1$**

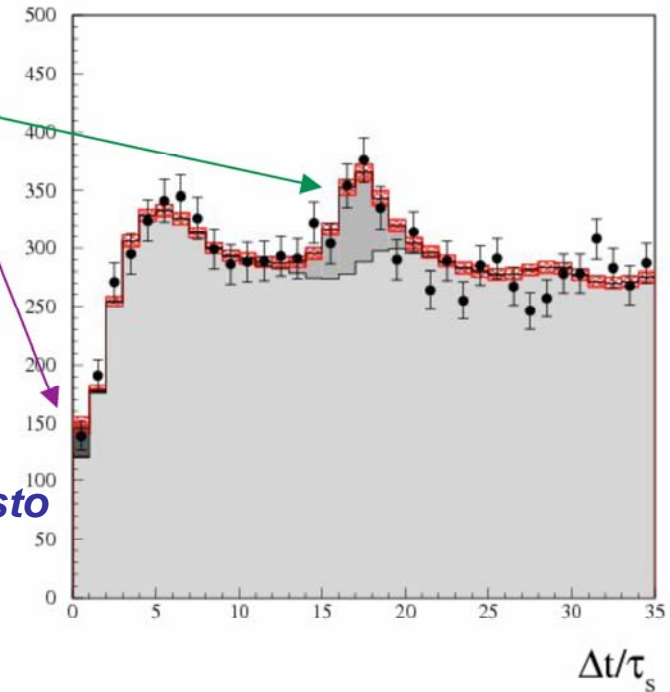
$$|i\rangle = \frac{1}{\sqrt{2}} [ (|K^0, \bar{K}^0\rangle - |\bar{K}^0, K^0\rangle) + \omega (|K^0, \bar{K}^0\rangle + |\bar{K}^0, K^0\rangle) ]$$

$$\zeta_{SL} < 0,098 \text{ al } 95 \% \text{ CL}$$

$$\zeta_{00} < 0,50 \times 10^{-3} \text{ al } 95\% \text{ CL}$$

**Migliorato CPLEAR**

$$|\omega| < 2,1 \times 10^{-3} \text{ al } 95\% \text{ CL} \quad \text{prima volta}$$



$$\Delta m = (5,34 \pm 0,34) \times 10^9 \text{ s}^{-1}$$

$\Delta m$  fissato al valore del PDG  
(5,290 ± 0,016) × 10<sup>9</sup> s<sup>-1</sup>





---

# *Fisica dei K*

## *Decadimenti rari*



# Decadimenti rari del $K_S - K_S \rightarrow \pi^0 \pi^0 \pi^0$



**VIOLA CP**

$$\eta_{000} = \frac{\langle \pi^0 \pi^0 \pi^0 | K_S \rangle}{\langle \pi^0 \pi^0 \pi^0 | K_L \rangle} = \epsilon + \epsilon'_{000} \text{ con } |\epsilon'_{000}| \ll |\epsilon|$$

$$BR(K_S \rightarrow \pi^0 \pi^0 \pi^0) \simeq |\eta_{000}|^2 BR(K_L \rightarrow \pi^0 \pi^0 \pi^0) \frac{\tau_S}{\tau_L} \simeq 1,9 \times 10^{-9}$$

**Miglior limite prima di KLOE  $BR(K_S \rightarrow \pi^0 \pi^0 \pi^0) < 7,4 \cdot 10^{-7}$  90%CL (NA48)**  
*(fittando interferenza KS/KL a piccoli t)*

*KLOE ha fatto la misura diretta migliorando di un fattore 6 questo limite e di due ordini di grandezza il limite diretto di SND*

- Sei cluster “neutri” pronti
- Nessuna traccia dalla regione di interazione
- Rimangono ~40.000 ev, prevalentemente  $K_S \rightarrow \pi^0 \pi^0 + 2$  cluster

*Strategia di eliminazione del fondo a partire da un fit a 11 vincoli (p, E, m<sub>K</sub>, velocità dei 6 fotoni)*

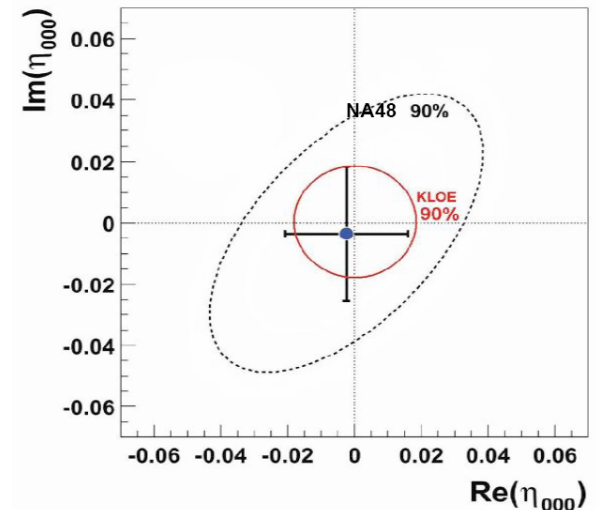
**Restano 2 ev con circa  $3 \pm 1$  di fondo**

$$BR(K_S \rightarrow \pi^0 \pi^0 \pi^0) < 1,2 \cdot 10^{-7} \text{ (90\% CL)}$$

$$|\eta_{000}| < 0,018 \text{ (90\% CL)}$$



Marco Napolitano - Napoli, 3 aprile 2008



# Decadimenti rari del $K_S$ : $K_S \rightarrow \gamma\gamma$ – Test di $\chi$ PT



Test di  $\chi$ PT che prevede  $BR(K_S \rightarrow \gamma\gamma) = 2,1 \cdot 10^{-6}$

Migliore misura  $BR(K_S \rightarrow \gamma\gamma) = 2,1 \cdot 10^{-6}$  differisce per 30% da  $\chi$ PT

Dati  $1,9 \text{ fb}^{-1}$  -  $\sim 700 \cdot 10^6 K_S$  da cui 1900 da cui  $\sim 1900 K_S \rightarrow \gamma\gamma$  aspettati

- 2 e solo 2 cluster
- $|t_\gamma - r/c| < \min(5\sigma_{t_\gamma}, 2\text{ns})$
- $E_\gamma > 7 \text{ MeV}$ ,  $|\cos\theta_\gamma| < 0,93$  grande accet. per aumentare reiezione  $K_S \rightarrow \pi^0\pi^0$

▪ No eventi con almeno un fotone in QCAL  
migliora S/B

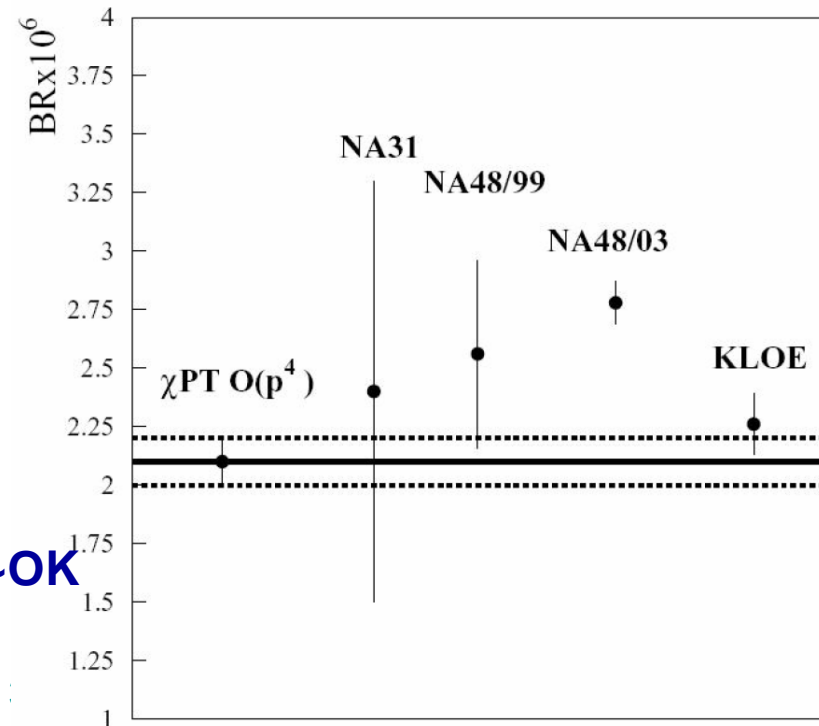
▪ Fit cinematico e taglio su  $\chi^2$

➤ Taglio su scatterplot  $M_{\gamma\gamma}$  vs  $\theta_{\gamma\gamma}$  per riduzione ulteriore  $K_S \rightarrow \pi^0\pi^0$  (ora unico fondo)

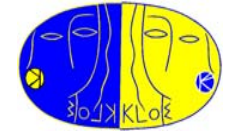
Normalizzazione a  $K_S \rightarrow \pi^0\pi^0$

$$BR(K_S \rightarrow \gamma\gamma) = (2,26 \pm 0,12 \pm 0,06) \cdot 10^{-6}$$

$\chi$ PT ~OK



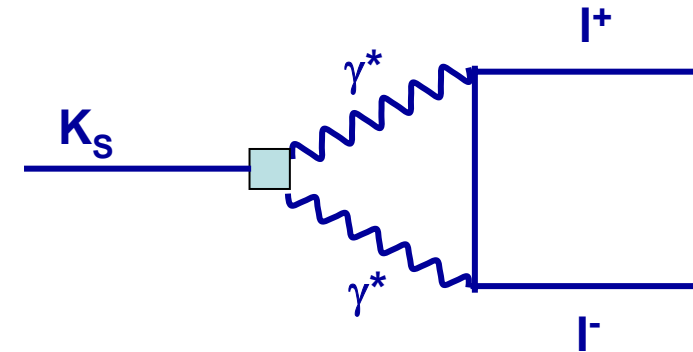
# Decadimenti rari del $K_S - K_S \rightarrow e^+e^-$



Decadimento "FCNC" con amp. dominata da

$$\frac{\Gamma(K_S \rightarrow e^+e^-)}{\Gamma(K_S \rightarrow \gamma\gamma)} = 8 \times 10^{-9} \quad (\pm 10\%)$$

$\chi PT (\mathcal{O}(p^4))$



$$BR(K_S \rightarrow e^+e^-) \simeq 1,7 \times 10^{-14}$$

CPLEAR  $\longrightarrow BR(K_S \rightarrow e^+e^-) < 1,4 \times 10^{-7} \quad (90\% CL)$

KLOE  $1,9 \text{ fb}^{-1}$

$$BR(K_S \rightarrow e^+e^-(\gamma)) < 1,65 \times 10^{-8}$$

